

รายการอ้างอิง

1. Electrotek Concepts,Inc., Evaluation of Distribution Capacitor Switching Concerns...
Final Report,. : EPRI TR-107332, 1997.
2. A.Hansen, M.Wildbergeg. Wavelet Application for Modeling in the Atmospheric Sciences, Second Edition, TR – 114838, Palo Alto : EPRI, 2000.
3. S.Bhatt. The Wavelet Transform and Feature Extraction of Power Quality Disturbances. :Volume 1,. TR-114175-V1. Palo Alto : EPRI, 1999.
4. S.Bhatt. Wavelet-based Power Quality Event Identification System.:Volume 2,. TR-114175-V2. Palo Alto : EPRI, 1999.
5. A.M.Gaouda and M.M.A.Salama, Power Quality Detection and Classification Using Wavelet-Multiresolution Signal Decomposition. IEEE Transactions on Power Delivery, Vol.14, No. 4, October 1999: pp 1469-1476.
6. P.Pillay,A.Bhattacharjee. Application Of Wavelet To Model Short-term Power System Disturbances. IEEE Transactions on Power System, Vol.11, No. 4, November 1996 : pp 2031-2037.
7. W.A.Wilkinson,M.D.Cox. Discrete Wavelet Analysis of Power System Transients. IEEE Transactions on Power System ,Vol.11, No. 4, November 1996 : pp 2038-2044.
8. A.M.Gaouda and M.M.A.Salama. Application Of Multiresolution Signal Decomposition For Monitoring Short-Duration Variations in Distribution System. IEEE Transactions on Power Delivery, Vol.15, No. 2, April 2000 : pp 478-485.
9. S. Santoso, S.Bhatt., Characterization Of Distribution Power Quality Events With Fourier And Wavelet Transforms. IEEE Transactions on Power Delivery Vol.15, No. 1, January 2000 : pp 247-254.
10. S. Santoso,. Power Quality Assessment Via Wavelet Transform Analysis. IEEE Transactions on Power Delivery , Vol.11, No. 2, April 1996 : pp 924-930.
11. F.H.Magnago. Fault Location Using Wavelet. IEEE Transactions on Power Delivery Vol.13, No. 4, October 1998 : pp 1475-1480.
12. G.T.Heydt,A.W.Galli. Transient Power Quality Problems Analyzed Using Wavelets. IEEE Transactions on Power Delivery , Vol.12, No. 2, April 1997 : pp 908-915.

13. นครินทร์ วงศศิธร. ผลกระทบต่อระบบไฟฟ้าของผู้ใช้จากการตัวเก็บประจุในระบบจำหน่าย
แรงดันปานกลาง. วิทยานิพนธ์ปริญญามหาบัณฑิต ภาควิชาชีวกรรมไฟฟ้า
วิศวกรรมศาสตร์ จุฬาลงกรณ์มหาวิทยาลัย, 2543.
14. สุรชัย ใจน้ำใจวนภาลัย. ผลของการติดตั้งอุปกรณ์ไฟฟ้าที่ไม่ต่อแรงดัน. วิทยานิพนธ์
ปริญญามหาบัณฑิต ภาควิชาชีวกรรมไฟฟ้า วิศวกรรมศาสตร์ จุฬาลงกรณ์
มหาวิทยาลัย, 2541.

ภาคผนวก

ภาคผนวก ก

ปรากฏการณ์ความผิดปกติในระบบไฟฟ้า

คุณภาพของระบบไฟฟ้า

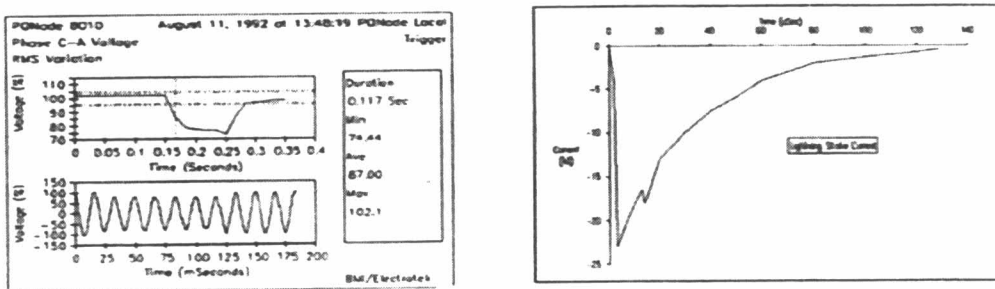
คุณภาพของระบบไฟฟ้าในปัจจุบันจะถูกกำหนดว่ามีค่าดีมากน้อยเพียงใด โดยขึ้นอยู่กับความสามารถในการรักษาสภาพที่ไม่ก่อให้เกิดความผิดปกติในระบบไฟฟ้า (Disturbance) ของแรงดัน กระแส หรือความถี่ ความผิดปกติในด้านต่าง ๆ เหล่านี้มักมีสาเหตุจากความผิดปกติของระบบไฟฟ้าที่แตกต่างกัน เช่น การเกิดความผิดพร่อง (Faults) การตัด-ต่อโหลด หรือตัวคาปาซิเตอร์ขนาดใหญ่ภายในระบบ ความผิดปกติในหลาย ๆ ด้านที่เป็นสาเหตุของความผิดปกติเหล่านี้ดูเหมือนจากเป็นสิ่งที่ยากแก่การป้องกันที่จะไม่ให้เกิดขึ้นได้ และดูเหมือนว่าความผิดปกติเหล่านี้จะก่อให้เกิดปัญหาต่อผู้ใช้ไฟฟ้ามากขึ้นทุกวัน ดังนั้นการเรียนรู้ถึงคุณลักษณะรวมถึงสาเหตุของความผิดปกติที่มีในระบบ จึงเป็นสิ่งที่มีความสำคัญอย่างยิ่ง ทั้งนี้เพื่อจะได้มีการวางแผนป้องกันต่อปัญหาของความผิดปกติของคุณภาพของระบบไฟฟ้าได้ โดยที่จะไม่ก่อให้เกิดความเสียหายในด้านต่าง ๆ ตามมา

ชนิดของความผิดปกติในระบบไฟฟ้า

ความผิดปกติที่มีอยู่ในระบบไฟฟ้ามีอยู่ด้วยกันหลายลักษณะ รวมถึงมีสาเหตุของ การเกิดที่แตกต่างกันไป โดยทั่วไปแล้วสามารถที่จะแยกความผิดปกติทางระบบไฟฟ้าได้ 3 ชนิด โดยใช้คุณสมบัติทางด้านไฟฟ้าเป็นส่วนพิจารณา ดังนี้

ความผิดปกติต้านรูปคลื่นแรงดัน (Voltage waveshape distortion)

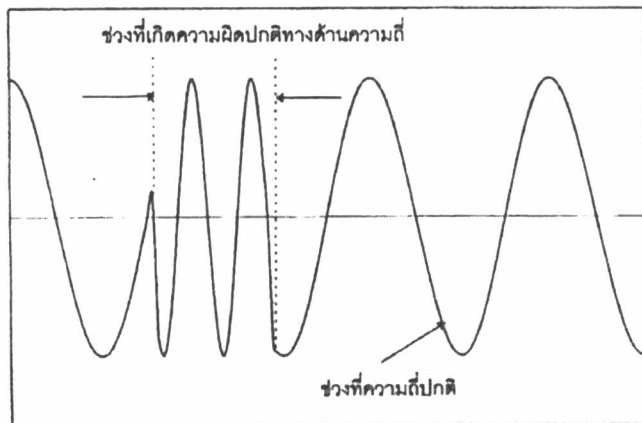
เป็นความผิดปกติในเรื่องของรูปคลื่นแรงดัน ด้วยอย่างเช่น แรงดันตกช้ำขณะ (Voltage Sag) แรงดันเกินช้ำขณะ (Voltage Swell) , ฮาร์มอนิกส์ (Harmonics) โดยทั่วไปมีสาเหตุหลักเกิดจากความผิดพร่องแบบต่าง ๆ ที่เกิดในระบบไฟฟ้า การตัด-ต่อโหลดเข้าสู่ระบบไฟฟ้า หรือ ผลของการลดประมาณไม่เป็นเชิงเส้น เป็นต้น



รูปที่ ก.1 ตัวอย่างของความผิดปกติด้านแรงดัน รูปที่ ก.2 ตัวอย่างของความผิดปกติด้านกระแส

ความผิดปกติด้านรูปคลื่นกระแส (Current waveshape distortion)

ความผิดปกติทางด้านรูปคลื่นกระแส มักมีสาเหตุโดยตรงจากการตัด-ต่อโหลดที่มีขนาดใหญ่มาก ๆ หรือ การเพิ่มเข้าหรือลดออกจากระบบของเครื่องกำเนิดไฟฟ้าที่ต่อเข้ากับระบบไฟฟ้า



รูปที่ ก.3 ความผิดปกติด้านความถี่ของรูปคลื่น

นอกจากนี้ความผิดปกติที่เกิดขึ้นในระบบไฟฟ้ายังสามารถแบ่งออกเป็นประเภทต่าง ๆ โดยใช้คุณลักษณะทางด้านเวลาในการเกิด (Duration) ขนาดของแรงดัน (Voltage Amplitude) และความถี่ (Frequency) ของความผิดปกติที่เกิดขึ้น ซึ่งสามารถแยกออกได้เป็นประเภทต่าง ๆ 7 ประเภท ดังต่อไปนี้

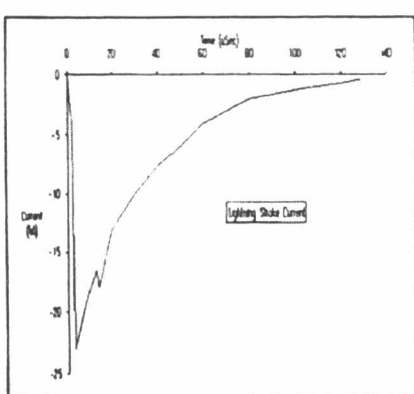
ประเภทของความผิดปกติในระบบไฟฟ้า

ทรานเซ็นส์ (Transients disturbance)

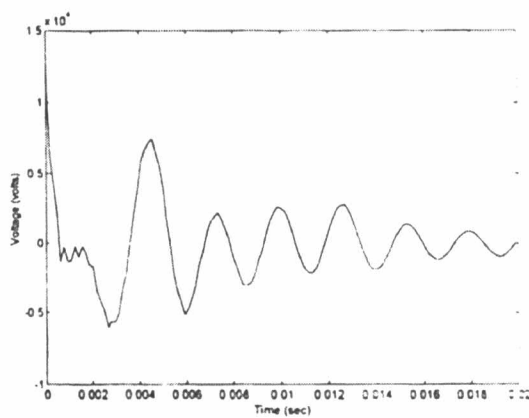
ทรานซิชันส์ เป็นความผิดปกติทางระบบไฟฟ้าที่มีช่วงเวลาการเกิดที่มีความน้อยกว่า 20 ms. โดยที่ส่วนความผิดปกติทางด้านขนาดจะอยู่ในช่วงระหว่าง 0-8 pu. ความผิดปกติชนิดนี้สามารถแบ่งออกได้เป็น 2 ชนิดคือ

ความผิดปกติทรานซิชันแบบออมพัลส์ (Impulsive Transients)

ทรานซิชันแบบออมพัลส์ เป็นความผิดปกติที่ไม่มีการเปลี่ยนแปลงด้านความถี่ไฟฟ้าของแรงดัน และกระแส ที่สภาวะคงที่ (Steady State) และมีคุณสมบัติทางเดียว (Unidirectional) โดยทั่วไปความผิดปกติชนิดนี้มักจะกำหนดคุณลักษณะโดยใช้ค่าช่วงเวลาขึ้น (Rise Time) และช่วงเวลาข้างหลัง (Decay Time) สาเหตุของความผิดปกติชนิดนี้เกิดจาก พ้าผ่าเป็นส่วนใหญ่



รูปที่ ก.4 ทรานซิชันแบบออมพัลส์



รูปที่ ก.5 ทรานซิชันแบบออมพัลส์

ทรานซิชันแบบแก่ง (Oscillatory Transients)

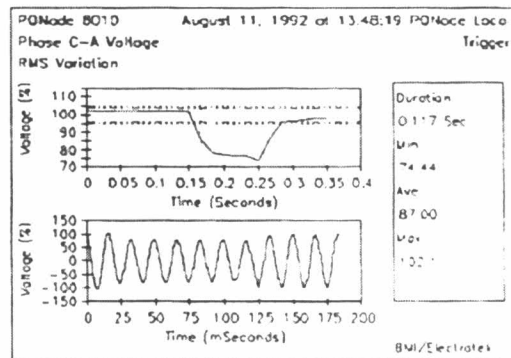
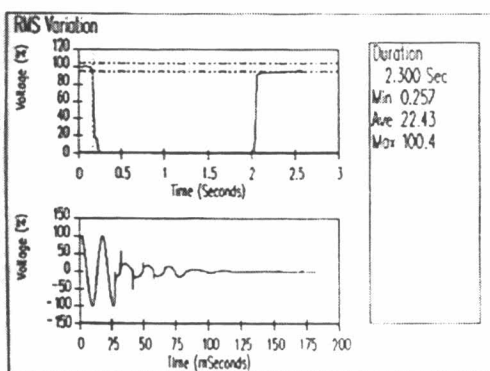
ทรานซิชันแบบแก่ง จะมีคุณลักษณะแบบ 2 ทาง สาเหตุของการเกิดความผิดปกติทางไฟฟ้าชนิดนี้มีสาเหตุเกิดจากการ สับสวิทซ์ของคาปaciเตอร์ เข้าสู่ระบบ หรือออกจากระบบไฟฟ้า การสับโนลด์จำพวกมอเตอร์เข้าสู่ระบบเป็นต้น

ความผิดปกติทางด้านแรงดันแบบช่วงเวลาสั้น (Short Duration Voltage Variation)

ความผิดปกติทางด้านแรงดันแบบช่วงเวลาสั้น เป็นความผิดปกติที่มีสาเหตุหลักที่เกิดจากสภาพความผิดพร่อง ที่เกิดขึ้นในระบบไฟฟ้า หรือ การต่อโนลด์ที่มีขนาดใหญ่เข้าสู่ระบบไฟฟ้า โดยอุปกรณ์เหล่านี้มีความต้องการกระแสไฟฟ้าในช่วงเริ่มเดินเครื่องสูง จึงทำให้เกิดการลดลงของแรงดันในช่วงเริ่มเดินอุปกรณ์เหล่านี้ นอกจากนี้การหลุดออกจากระบบของสายส่งที่มีการต่อเชื่อมในระบบไฟฟ้ายังเป็นสาเหตุประการหนึ่งที่ก่อให้เกิดความผิดปกติชั่วตัน ความผิดปกติเหล่านี้สามารถแบ่งออกเป็น 3 ชนิดใหญ่ ๆ ได้ดังนี้

ไฟฟ้าดับ (Voltage Interruption)

ความผิดปกติแบบนี้จะเกิดขึ้นเมื่อขนาดของแรงดันจ่ายของระบบไฟฟ้า มีค่าห้อยกว่า 10% ของค่าปกติ โดยที่มีช่วงเวลาการเกิดความผิดปกตินี้อยู่กว่า 1 นาที สาเหตุการเกิดของความผิดปกตินี้คือการเกิดความผิดพร่องของระบบไฟฟ้า



รูปที่ ก.6 ไฟฟ้าดับในช่วงสั้น

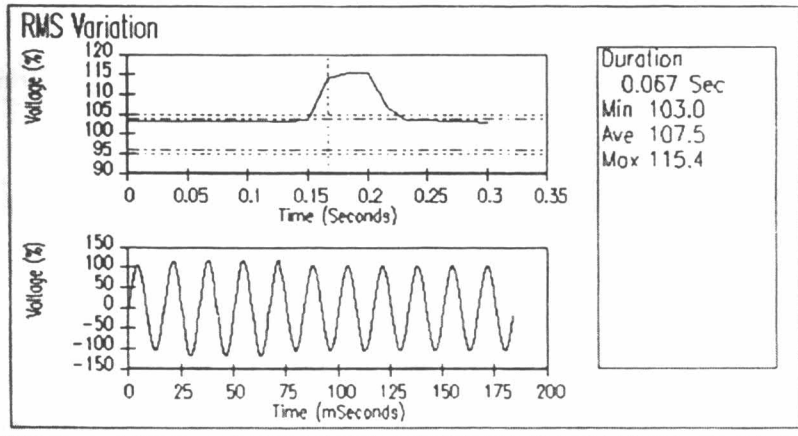
รูปที่ ก.7 แรงดันไฟฟ้าตก

แรงดันตกชั่วขณะ (Voltage Sag)

แรงดันตกชั่วขณะเป็นความผิดปกติที่เกิดขึ้นในระบบไฟฟ้ามากที่สุดในบรรดาความผิดปกติทั้งหมด ความผิดปกตินี้จะมีผลให้ขนาดของแรงดันไฟฟ้าประสิทธิผล (rms.) มีขนาดลดลงอยู่ในช่วง 10% - 90% ของค่าปกติ โดยที่มีช่วงเวลาการเกิดอยู่ในช่วงเวลา 10 ms. ถึง 1 นาที สาเหตุของการเกิดมาจากการผิดพร่องในระบบไฟฟ้านอกจากนี้การเริ่มเดินโหลด จำพวกมอเตอร์ที่มีขนาดกำลังมาก ๆ ยังเป็นสาเหตุของความผิดปกตินี้

แรงดันเกินชั่วขณะ (Voltage Swell)

ความผิดปกตินี้เป็นความผิดปกติในด้านแรงดันที่มีการเพิ่มขึ้นของแรงดันทำให้มีขนาดเป็น 110% - 180% ของขนาดแรงดันประสิทธิผล (rms.) ที่ความถี่ของระบบไฟฟ้ามีช่วงเวลาการเกิด 10 ms. ถึง 1 นาที สาเหตุของการเกิดความผิดปกตินี้เกิดจากผลความผิดพร่องในเฟสอื่น ซึ่งทำให้เกิดการเพิ่มขึ้นของขนาดแรงดัน ในเฟสที่ไม่เกิดความผิดพร่อง นอกจากนี้อาจเกิดจากการปลดโหลดที่มีขนาดกำลังมาก ๆ หรือ การต่อเข้าค่าปาร์เซอร์ขนาดใหญ่เข้าสู่ระบบไฟฟ้า



รูปที่ ก.8 แรงดันเกินชั่วขณะ

ความผิดปกติทางด้านแรงดันแบบช่วงเวลานาน (Long Duration Voltage Variation)

ความผิดปกติทางด้านแรงดันแบบช่วงเวลานาน เป็นความผิดปกติของค่าแรงดันประสิทธิผล (rms.) ที่ไม่มีการเปลี่ยนแปลงที่ความถี่ระบบไฟฟ้า โดยมีช่วงเวลาการเกิดความผิดปกติมากกว่า 1 นาที มีสาเหตุจากการเกิดจาก ผลของการเปลี่ยนแปลงของขนาดโหลดในระบบไฟฟ้าสามารถแบ่งความผิดปกติชนิดนี้ได้เป็น 3 ชนิดใหญ่ ๆ ดังนี้

แรงดันเกิน (Over-Voltage)

เป็นความผิดปกติที่มีลักษณะค่าของแรงดันประสิทธิผลมีค่าเพิ่มขึ้นมากกว่า 110% ของค่าแรงดันปกติที่มีความถี่เท่ากับค่าความถี่ระบบไฟฟ้า โดยช่วงเวลาการเกิดมากกว่า 1 นาที สาเหตุของการเกิดความผิดปกติชนิดนี้ มีสาเหตุจาก ผลของการปลดโหลดที่มีขนาดใหญ่หรือการต่อเข้าของค่าปาร์เซอร์เข้าสู่ระบบไฟฟ้า

แรงดันต่ำ (Under-Voltage)

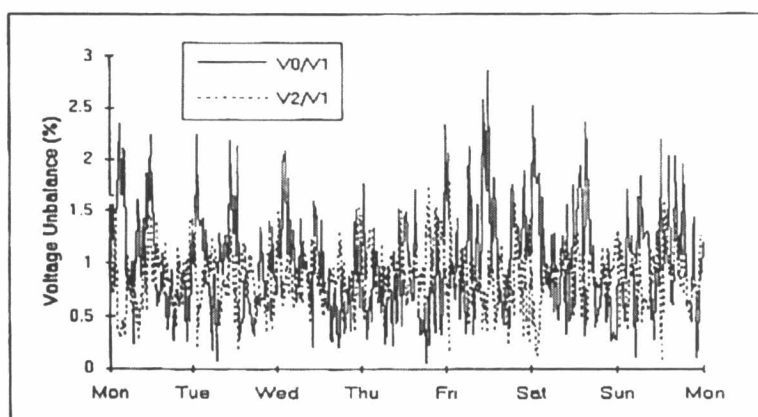
เป็นความผิดปกติที่มีคุณลักษณะที่ตรงข้ามกับ แรงดันเกิน คือ เป็นการลดของค่าแรงดันประสิทธิผลที่มีค่าน้อยกว่า 90% ของค่าแรงดันปกติที่ความถี่เท่ากับความถี่ระบบไฟฟ้า โดยมีช่วงเวลาการเกิดมากกว่า 1 นาที สาเหตุของการเกิดมีผลมาจาก การต่อเข้าของโหลดที่มีขนาดใหญ่ หรือการปลดออกของค่าปาร์เซอร์จากระบบไฟฟ้า

ไฟฟ้าดับเป็นเวลานาน (Sustained Voltage Interruption)

ความผิดปกติชนิดนี้เป็นความผิดปกติของแรงดันที่มีขนาดเท่ากับศูนย์ ในช่วงเวลามากกว่า 1 นาที สาเหตุของความผิดปกติชนิดนี้ เกิดจากภาระหยุดจ่ายของอุปกรณ์ กำเนิดไฟฟ้า เพื่อทำการซ่อมแซมหรือบำรุงรักษา

แรงดันไม่สมดุล (Voltage Unbalance)

ความผิดปกตินิดนี้เป็นความผิดปกติที่เกิดจากการเปลี่ยนแปลงค่าสูงสุดของขนาดแรงดันจากค่าเฉลี่ยของแรงดัน 3 เฟส โดยมากจะใช้ค่าเฉลี่ยของแรงดัน 3 เฟส มาเป็นตัวเทียบนิยมที่จะแสดงผลของความผิดปกตินี้ในรูปแบบของ เปอร์เซ็นต์ สาเหตุของการเกิดความผิดปกตินี้เกิดจาก โหลดไม่สมดุลหรืออิมพีเดนซ์ในระบบไฟฟ้าแต่ละเฟสมีค่าแตกต่างกัน



รูปที่ ก.9 แรงดันไม่สมดุล

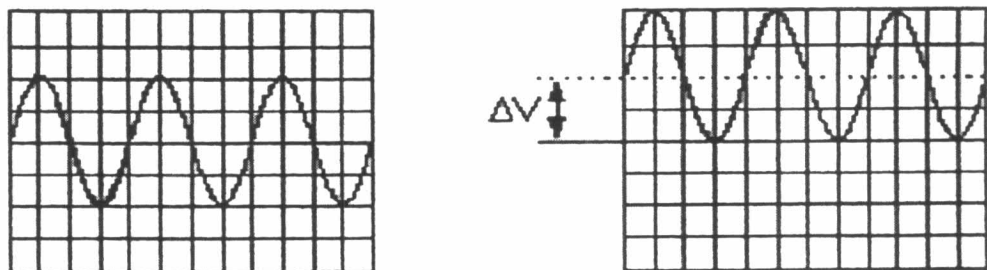
ความผิดเพี้ยนของรูปคลื่น (Wave Distortion)

ความผิดปกติแบบความผิดเพี้ยนของรูปคลื่น เป็นความผิดปกติที่เกิดขึ้นที่ภาวะคงตัว (Steady State) ที่เกิดการเปลี่ยนแปลงของรูปคลื่นไปจากรูปคลื่นไซน์ในอุดมคติ เราแบ่งความผิดปกตินิดนี้ออกเป็น 5 ประเภทใหญ่ ๆ ดังนี้

รูปคลื่นมีส่วนประกอบกระแสตรงปานอยู่ (D.C. offset Disturbance)

ความผิดปกตินิดนี้เป็นสาเหตุของความผิดปกติที่เกิดจากค่าของแรงดันไฟฟ้าหรือกระแสไฟฟ้าชนิดกระแสตรงที่มีในระบบไฟฟ้ากระแสสลับ ความผิดปกตินิดนี้มีขึ้นเนื่องจากผลของอุปกรณ์จำพวกจารเรียงกระแสที่มีไว้ในระบบไฟฟ้า

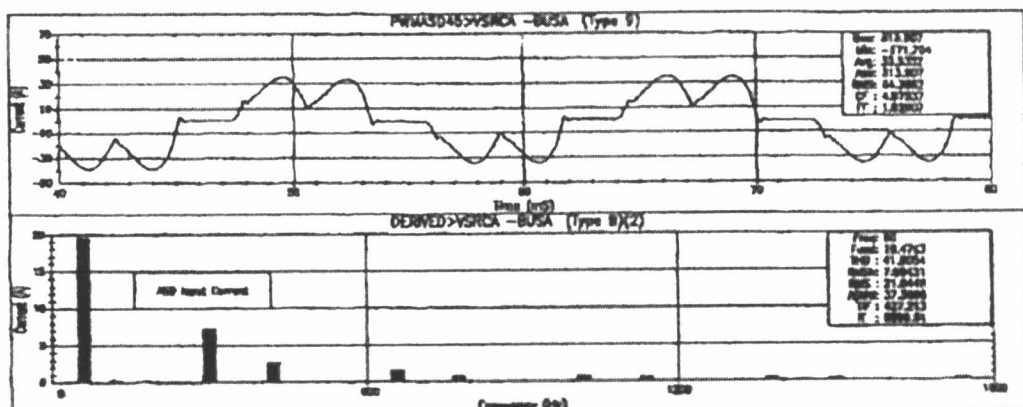
DC Offset



รูปที่ ก.10 ความผิดปกติจากรูปคลื่นมีส่วนประกอบกระแสตรงป้อนอยู่

ยาร์มอนิกส์ (Harmonics)

ยาร์มอนิกส์ เป็นความผิดปกติของ ระบบไฟฟ้าที่มีผลทำให้รูปคลื่น แรงดันไฟฟ้าหรือรูปคลื่นกระแสไฟฟ้าซึ่งมีลักษณะของคลื่นไซน์ที่เป็นจำนวนเท่าของความถี่ระบบไฟฟ้า มีความผิดเพี้ยนเนื่องจาก แรงดันไฟฟ้า หรือกระแสไฟฟ้า ที่มีความถี่เป็นจำนวนเท่าของความถี่ระบบไฟฟ้าป้อนอยู่ ส่วนใหญ่สาเหตุเกิดจากผลของโหลดที่มีลักษณะไม่เป็นเรียงเส้น



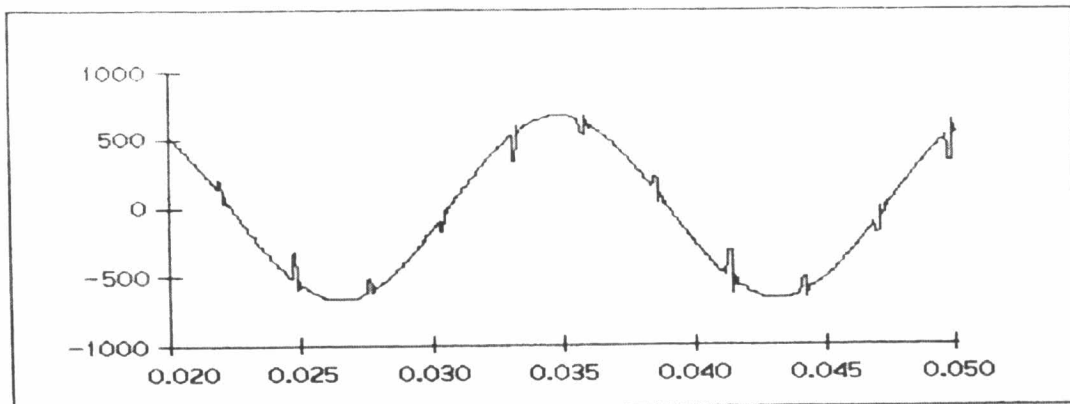
รูปที่ ก.11 ยาร์มอนิกส์

อินเตอร์ยาร์มอนิกส์ (Interharmonics)

ความผิดปกติ ชนิดนี้มีลักษณะความผิดปกติคล้ายความผิดปกติแบบ ยาร์มอนิกส์ แต่สาเหตุของความผิดเพี้ยนชนิดนี้เกิดจากผลของรูปคลื่นแรงดันไฟฟ้า หรือรูปคลื่นกระแสไฟฟ้า ที่มีแรงดันไฟฟ้าหรือกระแสไฟฟ้าที่มีความถี่ไม่เป็นจำนวนเท่าของความถี่ระบบไฟฟ้า ป้อนอยู่ แหล่งกำเนิดความผิดปกติชนิดนี้เกิดจากอุปกรณ์ที่ใช้แปลงความถี่ (Frequency Convertor) หรืออุปกรณ์ชนิดอาร์ก (Arcing Device) เป็นต้น

รูปคลื่นมีรอยขาด (Notching)

ความผิดปกติชนิดนี้เป็นความผิดปกติที่เกิดขึ้นกับรูปคลื่นแรงดันที่มีรอยบากที่มีลักษณะการเกิดเป็นคatabolism มีสาเหตุการเกิดมาจากการลดจำพวกอิเล็กทรอนิกส์กำลัง

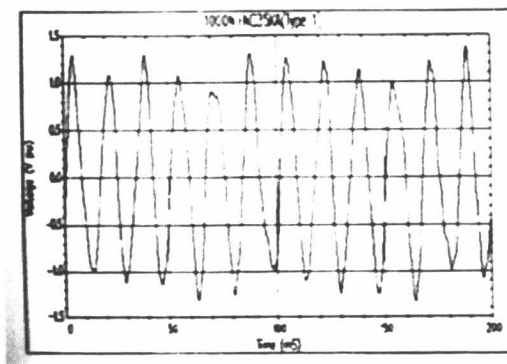


**รูปที่ ก.12 รูปคลื่นมีรอยบาก
สัญญาณรบกวน (Noise)**

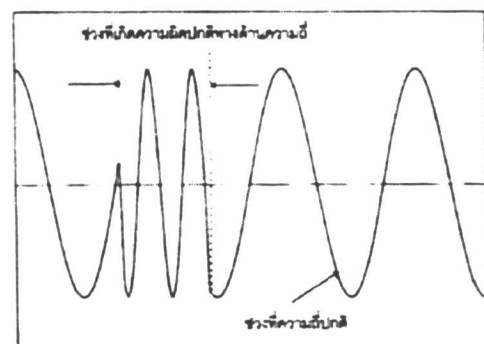
สัญญาณรบกวนทางไฟฟ้าเกิดจากอุปกรณ์จำพวกอิเล็กทรอนิกส์กำลัง อุปกรณ์ควบคุมต่างๆ ความผิดปกติชนิดนี้จะมีผลต่อ อุปกรณ์ต่าง ๆ ในระบบไฟฟ้า เนื่องจากทำให้ค่าของแรงดันไฟฟ้าที่อุปกรณ์ได้รับมีค่าผิดไปจากค่าจริงทำให้อุปกรณ์เหล่านี้ทำงานผิดพลาด ได้โดยเฉพาะอุปกรณ์จำพวกดิจิตอลอิเล็กทรอนิกส์

แรงดันกระแสเพื่อม (Voltage Fluctuation)

เป็นความผิดปกติที่เกิดขึ้นกับแรงดันโดยแรงดันมีการกระเพื่อมขึ้นลงอยู่ในช่วง 0.9 ถึง 1.1 pu. ความผิดปกติชนิดนี้มีสาเหตุหลักมาจากโหลดจำพวกเตาหลomorphic furnace)



รูปที่ ก.13 แรงดันกระแสเพื่อม

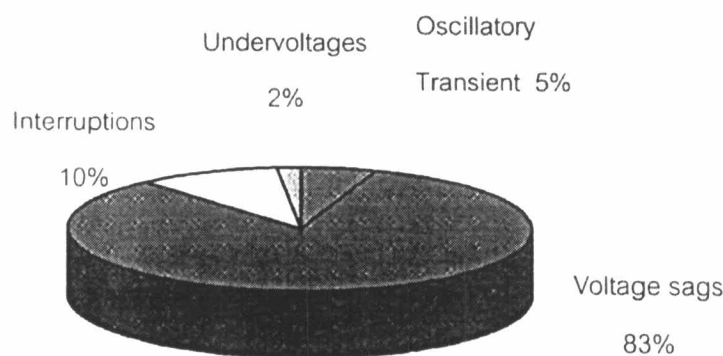


รูปที่ ก.14 ความถี่ระบบไฟฟ้าเปลี่ยนแปลง

ความผิดปกติแบบความถี่ระบบไฟฟ้าเปลี่ยนแปลง (Power Frequency Variation)

ความผิดปกตินิดนี้เป็นความผิดปกติของความถี่ระบบไฟฟ้าที่มีค่าผิดไปจากความถี่ระบบไฟฟ้า สาเหตุใหญ่เกิดจาก สายส่งไฟฟ้าขนาดใหญ่ (Bulk Power Transmission line) เกิดความผิดพร่องขึ้น หรือการสูญเสียระบบกำลังผลิตของอุปกรณ์กำเนิดไฟฟ้าไปจากระบบไฟฟ้า ความผิดปกติเหล่านี้จะมีผลต่อโหลดโดยเฉพาะอุปกรณ์ที่ใช้จุดตัดศูนย์ (zero crossing) เป็นตัวช่วยในการทำงาน เช่น อุปกรณ์เครื่องมือวัด อุปกรณ์ควบคุม หรืออุปกรณ์ป้องกัน

ในบรรดาความผิดปกติต่างๆ ที่เกิดขึ้นในระบบไฟฟ้านั้นมีอยู่ด้วยกันหลายชนิด ซึ่งแต่ละชนิดจากมีผลต่ออุปกรณ์ไฟฟ้าของผู้ใช้งาน จากการสำรวจในระบบจำนวนของการไฟฟ้านครหลวง เราจะพบจำนวนความผิดปกติที่แยกตามจำนวนการเกิดเป็นเปอร์เซ็นต์ได้ดังนี้



รูปที่ ก.15 สัดส่วนความผิดปกติต่างๆ

จากแผนภาพแสดงให้เห็นว่าความผิดปกติที่เกิดขึ้นส่วนใหญ่กว่าร้อยละ 80 เป็นความผิดปกติ ชนิดแรงดันตกชั่วขณะ (Voltage Sag (in USA) or Voltage Dip (in Europe)) ดังนี้ การทำการศึกษาคุณลักษณะของแรงดันตกชั่วขณะจึงดูเหมือนว่า จะเป็นประโยชน์ในการวางแผนป้องกันผลกระทบที่อาจมีต่อโหลดได้ในที่สุด

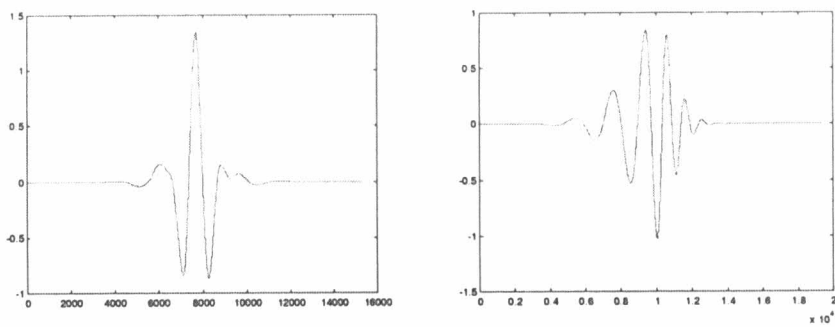
ภาคผนวก ข

เทคนิคการแปลงเวฟเลท

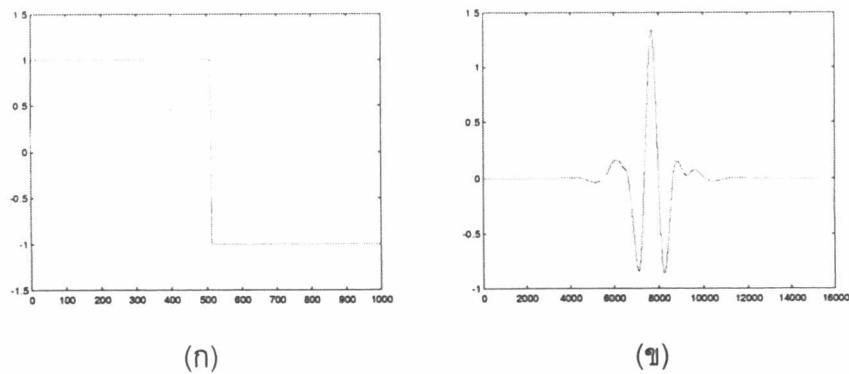
การแปลงเวฟเลท

เมื่อใช้การแปลงฟูเรียร์ในการวิเคราะห์สัญญาณเฉพาะบางช่วงเวลาและความถี่ เท่านั้นจะเสียเวลาในการคำนวณมาก เพราะต้องคำนวณใหม่ตลอดย่าง ดังนั้นจึงได้มีการ พัฒนาการแปลงที่สามารถวิเคราะห์สัญญาณได้เฉพาะช่วงเวลาและช่วงความถี่ที่สนใจเท่านั้น การแปลงที่พัฒนาขึ้นนี้เรียกว่า การแปลงเวฟเลท

การแปลงเวฟเลทจะใช้อธิบายโครงสร้างของระบบสัญญาณที่ประกอบด้วยกลุ่มของสัญญาณเฉพาะมาร่วมกันเป็นสัญญาณหรือระบบบัน្តๆ โดยสัญญาณเฉพาะนี้จะเป็นคลื่น เล็กๆ ที่เรียกว่า เวฟเลทจะเห็นได้จากรูปที่ ข.1

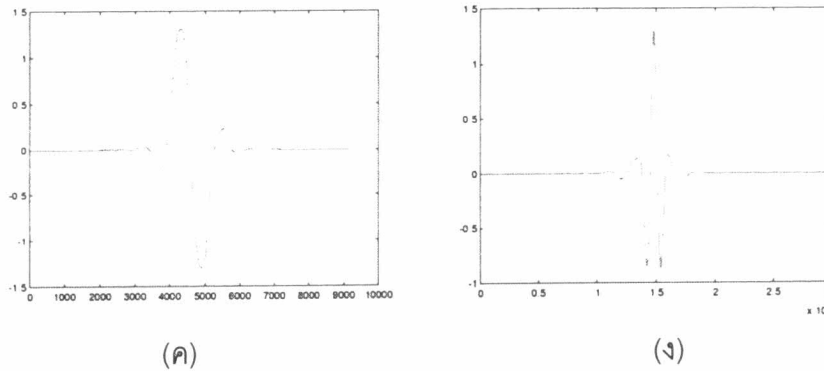


รูปที่ ข.1 พังก์ชันฐานหลักเวฟเลทแต่ละชนิด
โดยเวฟเลทจะมีหลายชนิดจะได้จากรูปที่ ข.2



(ก)

(ก)

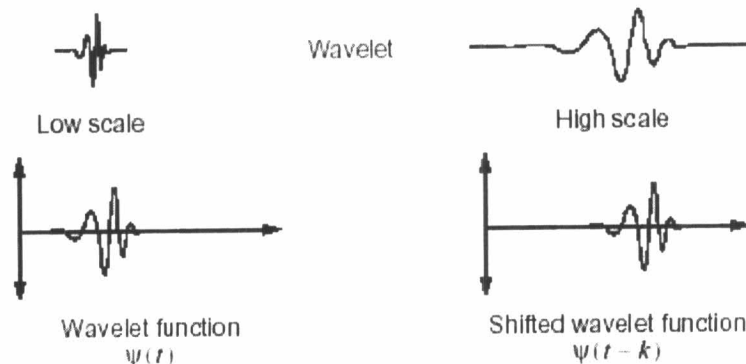


รูปที่ ข.2 พังค์ชันเวฟเลทแบบ Haar , Coiflet, Daubechies และ Symlets โดยจะแสดง
ดังรูปที่ ข.2.ก ,รูปที่ ข.2.ช , รูปที่ ข.2.ค และ รูปที่ ข.2.ง ตามลำดับ

รูปคลื่นเวฟเลทแต่ละตัวจะมีโครงสร้างมากจากพังค์ชันเดียวกันซึ่งพังค์ชันนี้จะเป็นเวฟเลทต้นกำเนิดที่เรียกว่า เวฟเลทแม่ คลื่นเวฟเลทแต่ละอันจะอยู่ภายใต้เซตของเวฟเลทนี้โดยแต่ละคลื่นจะเกิดจากการสเกล a และการเลื่อนตำแหน่ง b ดังนั้นจะสามารถเขียนสมการได้ดังนี้

$$\psi_{b,a}(t) = \frac{1}{\sqrt{a}} \psi\left[\frac{t-b}{a}\right] \quad (1)$$

โดยค่า a และ b จะแสดงรูปแบบของพังค์ชันเวฟเลทดังรูปที่ ข.3



รูปที่ ข.3 คุณสมบัติการเลื่อนตำแหน่งและการขยายและลดสเกลของพังค์ชันเวฟเลท

การวิเคราะห์สัญญาณแบบหลายระดับความละเอียด (Multiresolution Analysis : MRA)

สมมุติให้ V^{-j} เป็นปริภูมิเวคเตอร์ที่มี j แสดงถึงความละเอียดและจำนวนของพังค์ชันฐานหลัก ที่ประกอบขึ้นเป็นพังค์ชัน ก็หมายความว่าถ้า j มากแล้วความละเอียดของสัญญาณที่เกิดจากการประกอบกันของพังค์ชันฐานหลักจะมากขึ้นด้วย จากข้อกำหนดเหล่านี้ สามารถสรุปเป็นลักษณะสมบัติของการวิเคราะห์สัญญาณที่ระดับความละเอียดต่างๆได้ดังนี้

- $V^{-\infty} \subset V^{-1} \subset V^0 \subset V^1 \dots \subset V^\infty$
- $\text{Clos}_{L^2}(\bigcup_{j \in I} V^j) = L^2(R)$

- $\bigcap_{j \in I} V^j = \{0\}$
- $V^j + W^j = V^{j+1}$
- $f(x) \in V^j \Leftrightarrow f(2x) \in V^{j+1}$

จากการที่ฟังก์ชันฐานหลักประกอบกันเป็นสัญญาณการประมวลที่ระดับความละเอียด j ภายในปริภูมิ V^j เราจะเรียกฟังก์ชันฐานหลักเหล่านี้ว่า ฟังก์ชันสเกลลิ่ง โดยฟังก์ชันสเกลลิ่งจะมีความสัมพันธ์กันระหว่างปริภูมิดังนี้

$$f(x) \in V^j \Leftrightarrow f(2x) \in V^{j+1} \quad (2)$$

จากสมการที่ (2) เราสามารถสร้างความสัมพันธ์ระหว่างฟังก์ชันสเกลลิ่งภายในปริภูมิได้ดังนี้

$$\phi_{j,k}(t) = 2^{j/2} \phi(2^j t - k) \quad (3)$$

จากสมการที่ (3) ซึ่งเป็นฟังก์ชันฐานหลักของปริภูมิเวกเตอร์ V^j ดังนั้นจะสามารถประมวลสัญญาณ $f(t)$ ที่เกิดจากการประกอบกันของฟังก์ชันฐานหลัก $\phi(t)$ ในปริภูมิเวกเตอร์ V^j ได้คือ

$$f_j(t) = \sum_k c_k^j \phi_{j,k}(t) \quad (4)$$

เมื่อ c_k^j คือสัมประสิทธิ์ของการขยายของ $f(t)$ สู่ฟังก์ชันฐานหลัก $\phi(t)$ ในปริภูมิ V^j

จากคุณสมบัติ $V^j + W^j = V^{j+1}$ ของ MRA การวิเคราะห์สัญญาณที่ระดับความละเอียดต่ำลงมาจะทำให้พลังงานบางส่วนหายไปในอีกปริภูมิหนึ่งซึ่งคือปริภูมิ W^j โดยปริภูมนี้จะมีฟังก์ชันฐานหลักคือ $\psi(t)$ โดยเราจะเรียกว่า ฟังก์ชันเวฟเลท สามารถเขียนสมการได้ดังนี้

$$\psi_{j,k}(t) = 2^{j/2} \psi(2^j t - k) \quad (5)$$

ถ้ากำหนดให้ $g_j(t)$ เป็นสัญญาณที่เกิดจากฟังก์ชันฐานหลัก $\psi(t)$ ดังนั้นจะเหมือนกับสมการที่ (4)

$$g_j(t) = \sum_k d_k^j \psi_{j,k}(t) \quad (6)$$

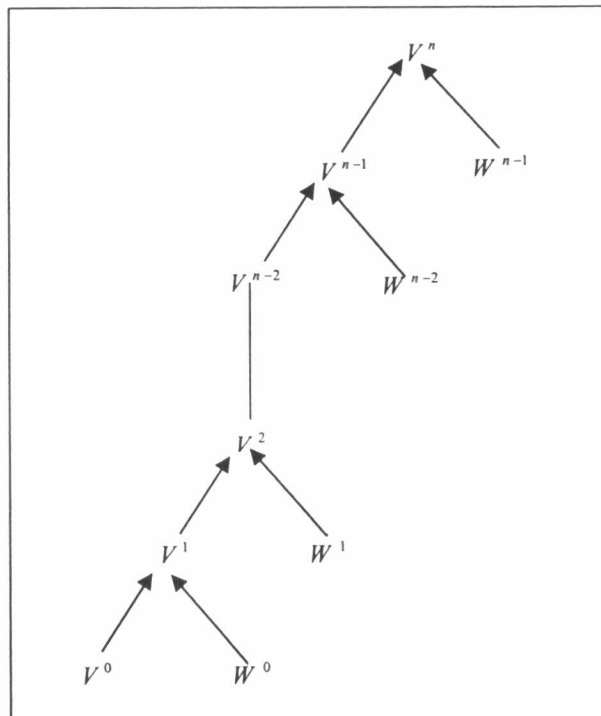
โดยที่ d_k^j คือสัมประสิทธิ์ของการขยาย $f(t)$ สู่ฟังก์ชันฐานหลัก $\psi(t)$ ในปริภูมิ W^j ดังนั้นจะได้ความสัมพันธ์ $V^j + W^j = V^{j+1}$ เราจะได้ว่า

$$f_{j+1} = f_j + g_j \quad (7)$$

สมมุติให้ $f(t) \in V^{j+1}$ จะสามารถขยาย $f(t)$ ให้มีความละเอียดน้อยลงได้จากสมการ $V^j + W^j = V^{j+1}$

$$V^{n+1} = V^0 + W^0 + W^1 + W^2 + W^3 + \dots + W^n \quad (8)$$

สามารถสร้างแผนผังการกระจายได้ดังนี้



รูปที่ ข.4 แผนผังการกระจายสัญญาณแบบหลายระดับความละเอียดแสดงในรูปปริภูมิเวคเตอร์

ในการของเดียวกันเราสามารถแยกแจงสัญญาณ $f(t)$ ได้คือ

$$f(t) = f_j + g_j + g_{j+1} + g_{j+2} + \dots + g_\infty \quad (9)$$

และสามารถเขียนให้อยู่ในรูปแบบกระชับคือ

$$f(t) = \sum_k c_j(k) \phi_{j,k}(t) + \sum_{i=j}^{\infty} \sum_k d_i(k) \psi_{i,k}(t) \quad (10)$$

ภาคผนวก ค

การตรวจจับและหาตำแหน่งของปัญหาคุณภาพไฟฟ้า

การตรวจจับและหาตำแหน่งของปัญหาคุณภาพไฟฟ้า

การแปลงเวฟเลทสามารถใช้ประยุกต์กับปัญหาคุณภาพไฟฟ้าได้ เนื่องจากผลการแปลงเวฟเลทจะมีความไวกับสัญญาณเปลี่ยนแปลงทันทีทันใด เช่น การเกิดความถี่การแกว่งบนรูปคลื่นแรงดันเนื่องจากการสับสวิตซ์ตัวเก็บประจุกำลังหรือการเกิดแรงดันตกชั่วขณะในตำแหน่งเริ่มเกิดกับตำแหน่งที่หยุดเกิด แต่การแปลงเวฟจะไม่มีความไวต่อรูปคลื่นไซน์ที่คงที่ตลอด (Daubechies wavelet) ดังนั้นเราจึงใช้ข้อดีดังกล่าวนี้ในการตรวจจับและหาตำแหน่งของปัญหาคุณภาพไฟฟ้าตามที่ได้กล่าวมาข้างต้น ซึ่งเราจะใช้เทคนิคที่เรียกว่า การกระจายสัญญาณหลายระดับความละเอียด (Multiresolution Signal Decomposition Analysis) โดยจะใช้ เวฟเลทคือ Daubechies wavelet ซึ่งมีรูปร่างพื้นฐานมาจากรูปคลื่นไซน์ โดยกำหนดให้ $C_0(n)$ เป็นสัญญาณที่บันทึกได้จากการตรวจวัดโดยเป็นสัญญาณแบบเต็มหน่วย (discrete-time) เช่น $n=1024, 2048$ เป็นต้น และกำหนดให้ผลการกระจายสัญญาณใน scale 1 (level 1) เป็น $C_1(n)$ และ $D_1(n)$ โดยที่ $C_1(n)$ เป็นส่วนขยายของสัญญาณ $C_0(n)$ และ $D_1(n)$ เป็นส่วนลดของ $C_0(n)$ ซึ่งเราจะผลการกระจายสัญญาณได้ดังนี้

$$C_1(n) = \sum_k h(k-2n).C_0(k) \quad (1)$$

$$D_1(n) = \sum_k g(k-2n).C_0(k) \quad (2)$$

โดยที่ $h(n)$ และ $g(n)$ เป็นสัมประสิทธิ์ตัวกรองเวฟเลท และในทำนองเดียวกัน ถ้าต้องการหากระจายสัญญาณใน scale 2 (level 2) จะได้ว่า

$$C_2(n) = \sum_k h(k-2n).C_1(k) \quad (3)$$

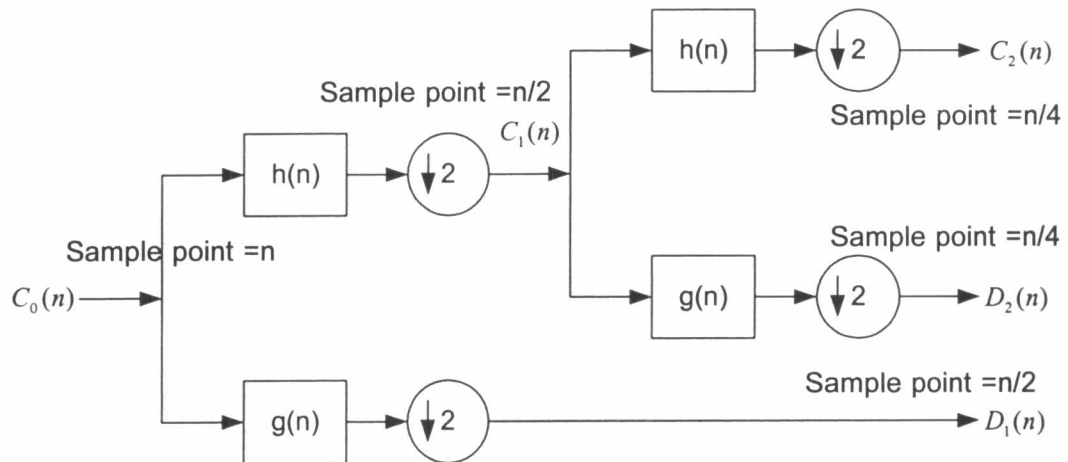
$$D_2(n) = \sum_k g(k-2n).C_1(k) \quad (4)$$

ซึ่งเราจะสามารถเขียนเป็นแผนภาพตามรูปที่ 1 และ สัมประสิทธิ์ตัวกรองเวฟเลทที่ใช้ในการคำนวณจะได้ในตาราง 1 และ $g(n)$ มีความสัมพันธ์กับ $h(n)$ คือ

$$g(n) = (-1)^{n+1} \cdot h(L-1-n) \quad (5)$$

ตาราง ค.1 แสดงค่าสัมประสิทธิ์ตัวกรองเวฟเลท (Daubechies wavelet)

L	n	$h(n)$
2	1	0.7071067811865480
	2	0.7071067811865480
4	1	0.4829629131446900
	2	0.8365163037374690
6	3	0.2241438680418570
	4	-0.1294095225509210
8	1	0.3326705529509570
	2	0.8068915093133390
10	3	0.4598775021193310
	4	-0.1350110200103910
12	5	-0.0854412738822415
	6	0.0352262918821007
14	1	0.2303778133088550
	2	0.7148465705525420
16	3	0.6308807679295900
	4	-0.0279837694169838
18	5	-0.1870348117188810
	6	0.0308413818359870
20	7	0.0328830116669829
	8	-0.0105974017849973
22	1	0.1601023979741250
	2	0.6038292697974730
24	3	0.7243085284385740
	4	0.1384281459011030
26	5	-0.2422948870661900
	6	-0.0322448695850295
28	7	0.0775714938400651
	8	-0.0062414902130117
30	9	-0.0125807519990155
	10	0.0033357252850016

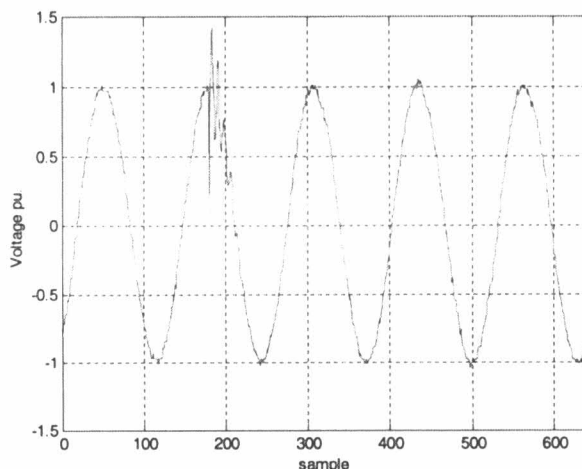


รูปที่ ค.1 การกระจายสัญญาณคุณภาพไฟฟ้า

ตัวอย่างการกระจายสัญญาณคุณภาพไฟฟ้า

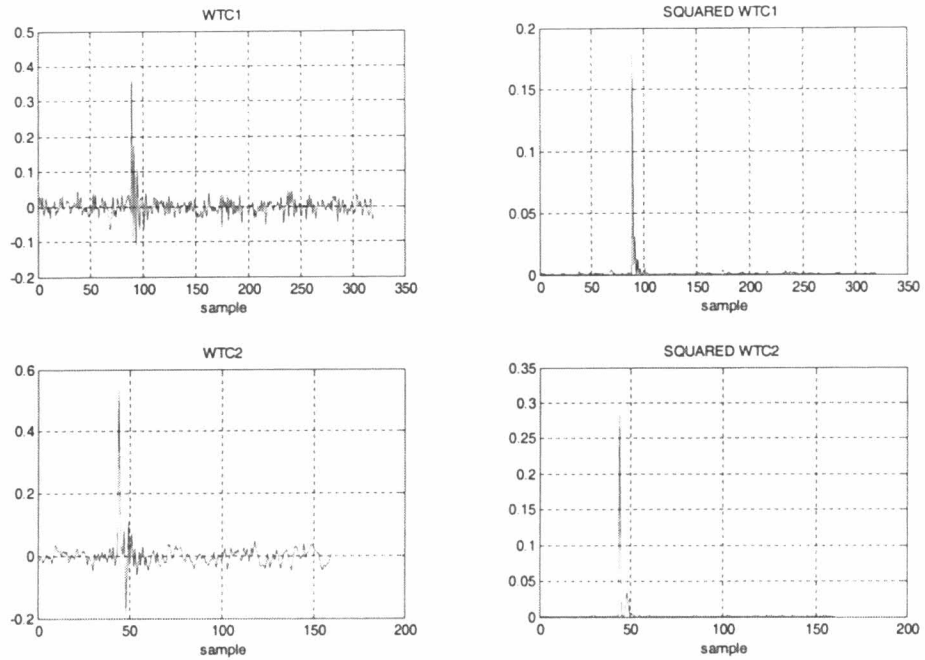
รูปคลื่นแรงดันการสับสวิตช์ตัวเก็บประจุกำลัง

ตัวอย่างนี้จะเลือกรูปคลื่นแรงดันที่ได้จากการเก็บผลจริง ซึ่งแสดงในรูปที่ 2.คโดยทำเป็นค่าต่อหน่วยเรียบร้อยแล้ว

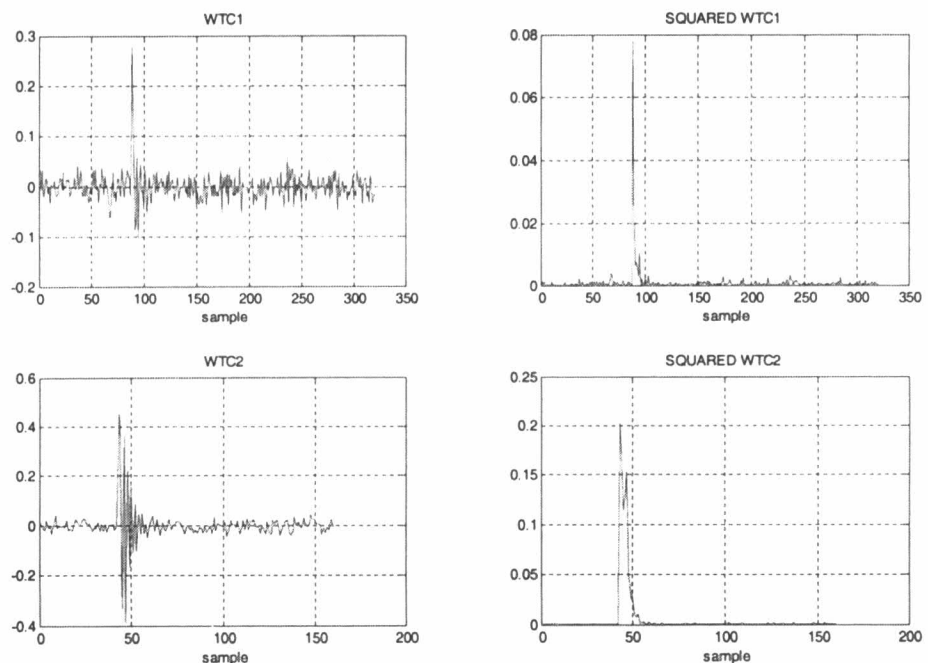


รูปที่ ค.2 รูปคลื่นการทดลองการสับสวิตช์ตัวเก็บประจุกำลังจริง

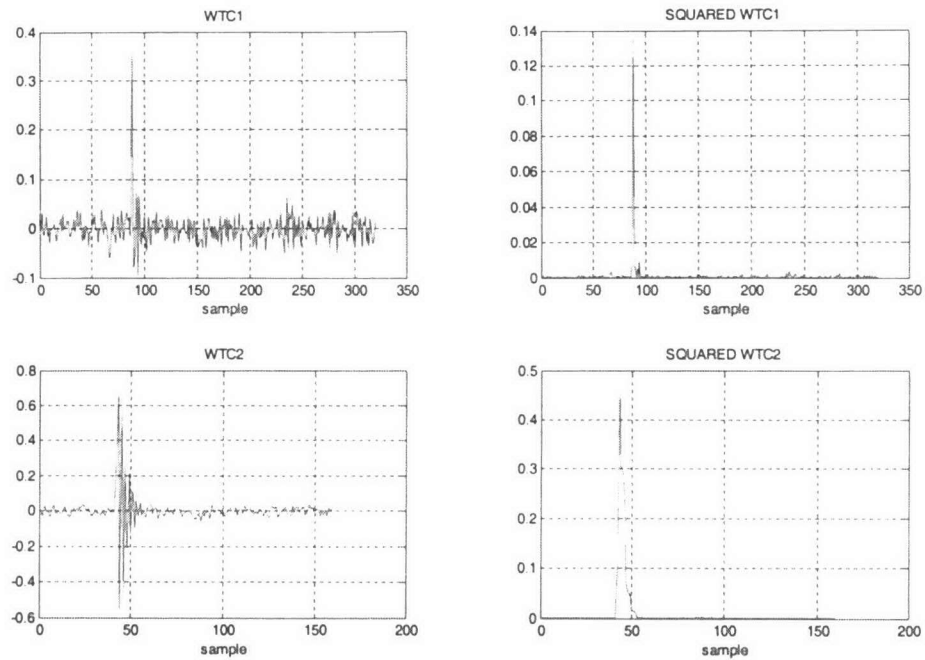
จะได้ผลการทดลองรูปคลื่นในส่วนละเอียด scale 1 และ 2 (level 1 และ 2) โดยเริ่มจาก การใช้ 4,6,8 และ 10 ส้มประสิทธิ์ตัวกรองตามลำดับดังนี้



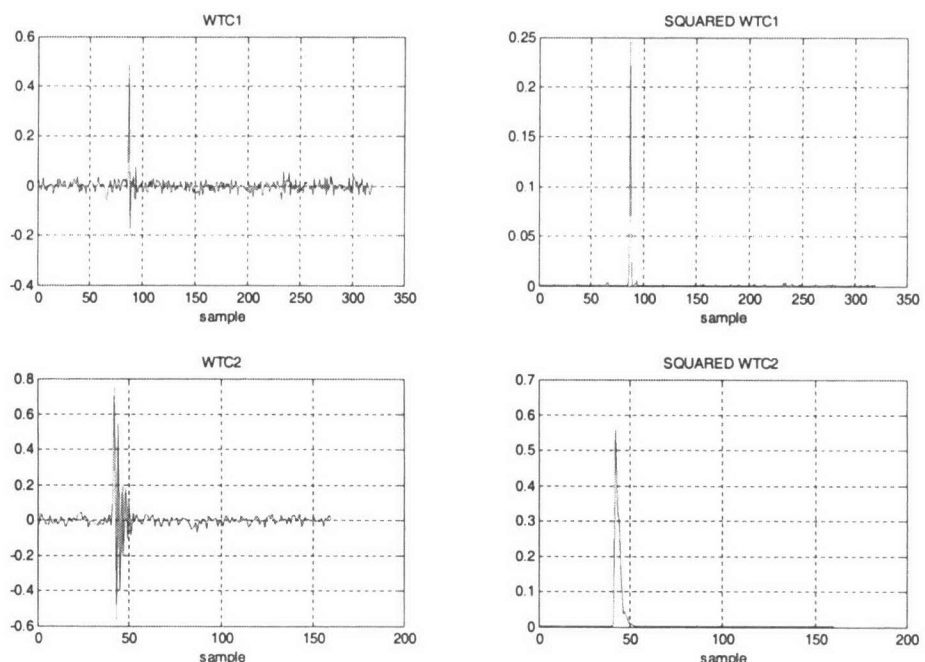
รูปที่ ค.3 การกระจายสูปคลื่น 2 ระดับ การใช้ Daubechies wavelet 4 สัมประสิทธิ์ตัวกรอง



รูปที่ ค.4 การกระจายสูปคลื่น 2 ระดับ การใช้ Daubechies wavelet 6 สัมประสิทธิ์ตัวกรอง



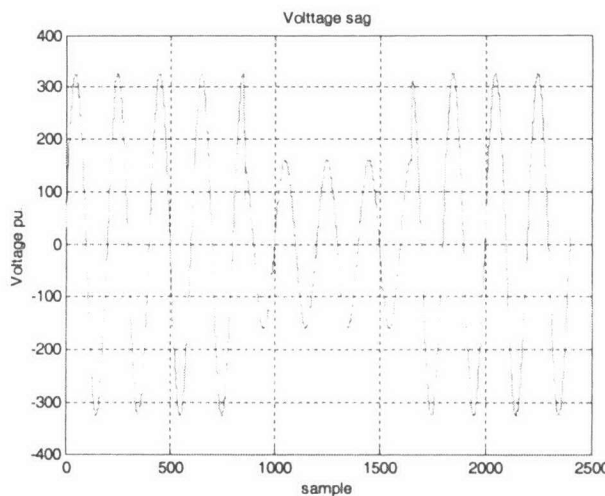
รูปที่ ค.5 การกระจายรูปคลื่น 2 ระดับ การใช้ Daubechies wavelet 8 สัมประสิทธิ์ตัวกรอง



รูปที่ ค.6 การกระจายรูปคลื่น 2 ระดับ การใช้ Daubechies wavelet 10 สัมประสิทธิ์ตัวกรอง
จากรูปที่ ค.3 – ค.6 เราสามารถพิจารณาเลือกใช้สำหรับการคำนวณหาระยะเวลาการเกิดทราบ
เชียนต์ได้ตามความเหมาะสม

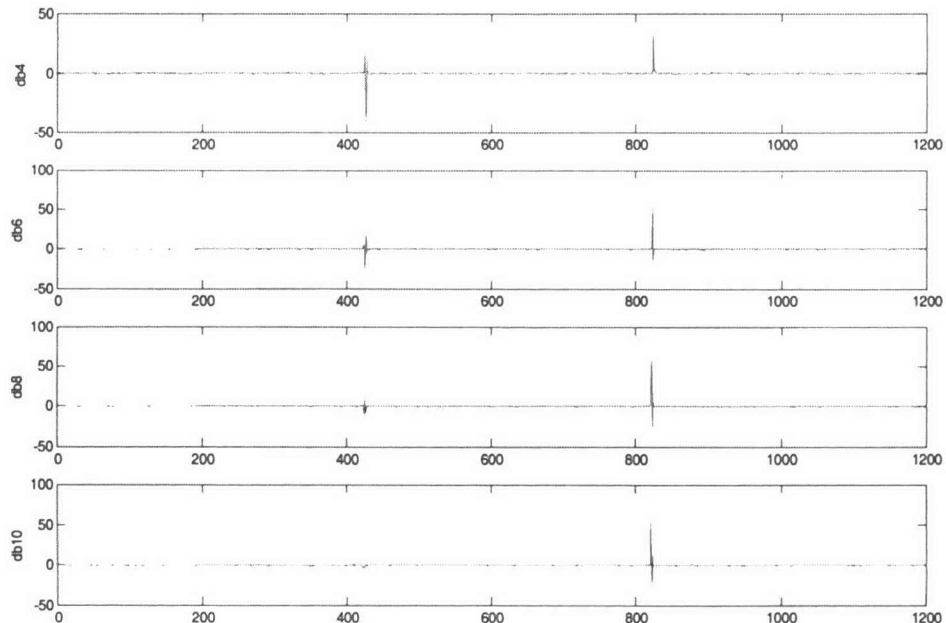
รูปคลื่นแรงดันตกชั่วขณะ

จะแสดงจากตัวอย่างรูปคลื่นที่ได้จากเครื่องกำเนิดแรงดันตกชั่วขณะที่มุมเริ่มเกิด 90 องศา ระยะเวลาที่เกิดหรือช่วงเวลาที่เกิด 4 cycle และขนาดที่ตกลงเหลือ 50 เปอร์เซ็นต์



รูปที่ ค.7 รูปคลื่นที่ได้จากเครื่องกำเนิดแรงดันตกชั่วขณะ

จะได้ผลการกระจายรูปคลื่นในส่วนละเอียดแต่ละสัมประสิทธิ์ตัวกรอง(4,8,6 และ 10) ที่ระดับ 1



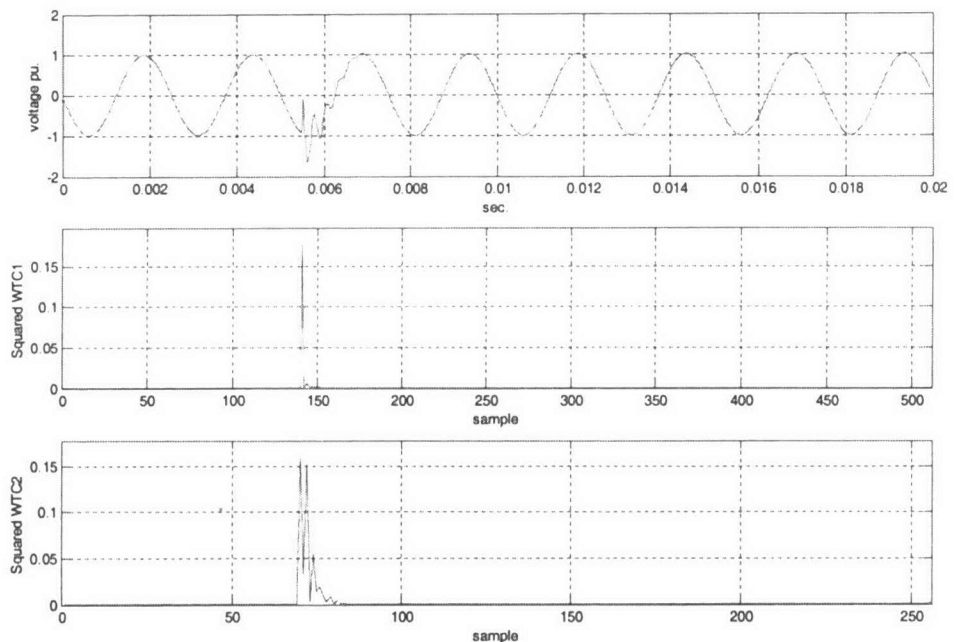
รูปที่ ค.8 ผลการกระจายรูปคลื่นในส่วนละเอียดแต่ละสัมประสิทธิ์ตัวกรองที่ระดับ 1

จากภูมิคุ้มกัน เรากล่าวได้ว่า ภูมิคุ้มกันในส่วนนี้จะช่วยให้เราสามารถต้านทานเชื้อโรคได้ดีขึ้น ตามความเหมาะสม

ภาคผนวก ๙

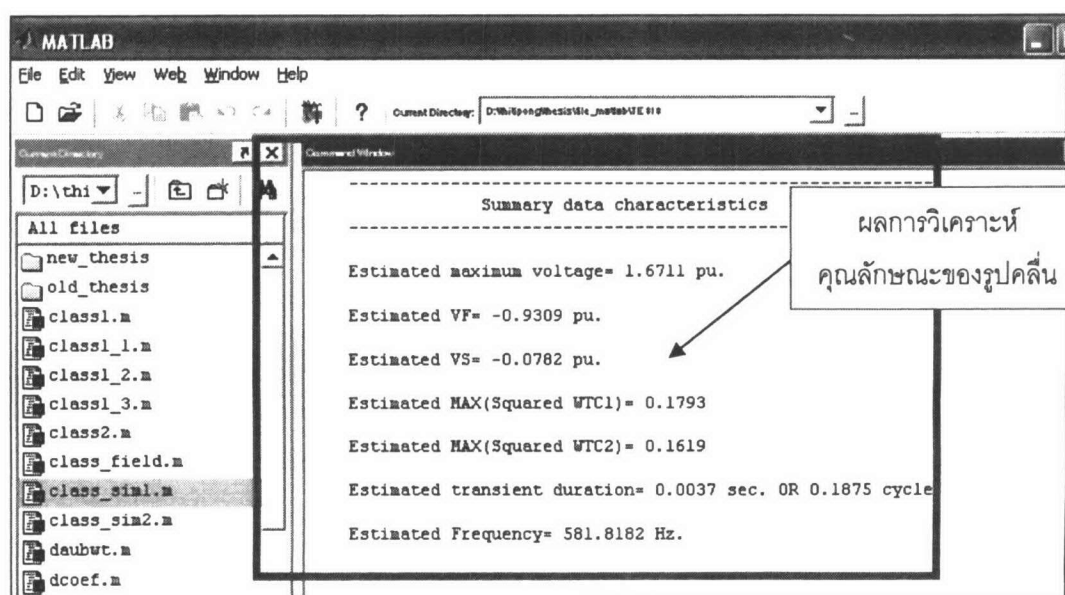
ตัวอย่างการสันนิษฐานรูปแบบการสับสวิตซ์ตัวเก็บประจุกำลัง

ตัวอย่างการสันนิษฐานรูปแบบการสับสวิตซ์ตัวเก็บประจุกำลังจากรูปคลื่นจำลอง

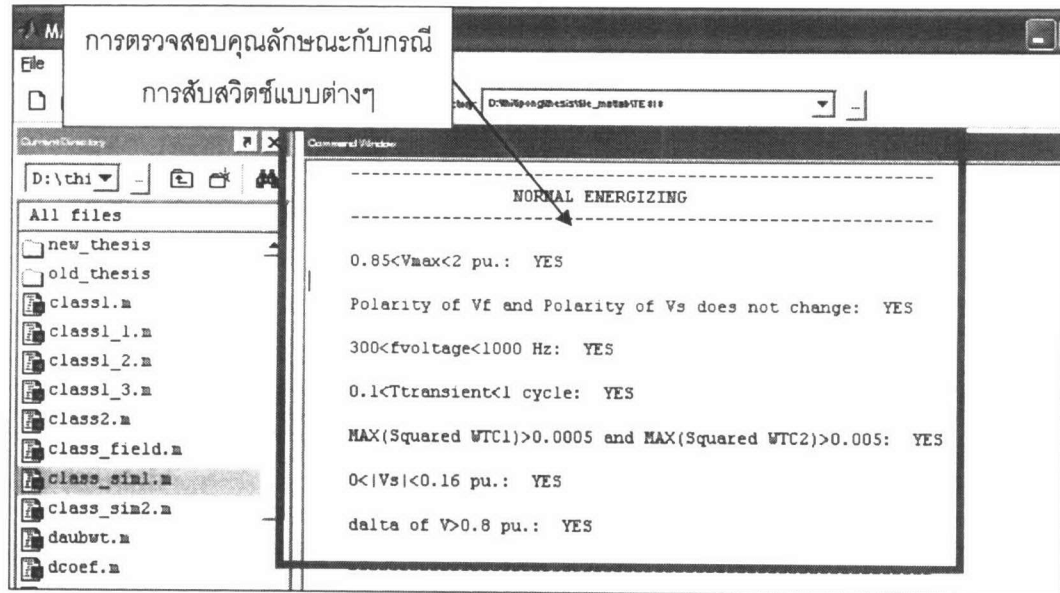


รูปที่ ๔.๑ รูปคลื่นจำลองกรณี Normal energizing

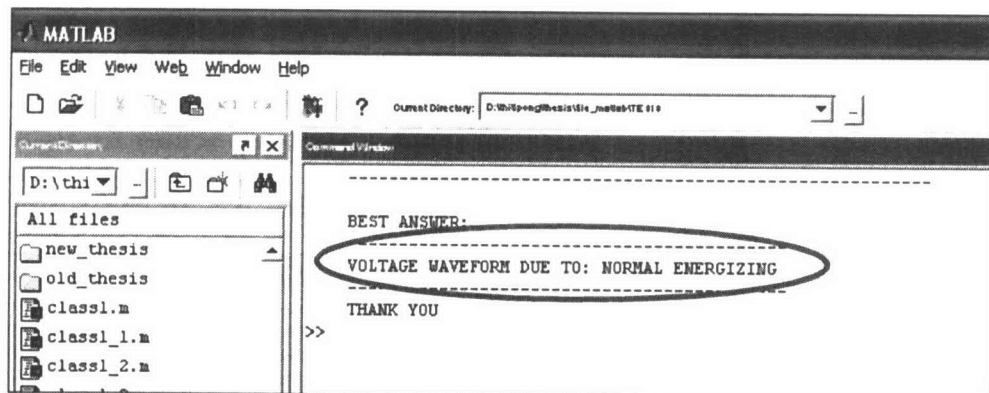
การรายงานผลการสันนิษฐานรูปแบบการสับสวิตซ์



รูปที่ 4.2 การรายงานผลการวิเคราะห์คุณลักษณะของรูปคลื่น

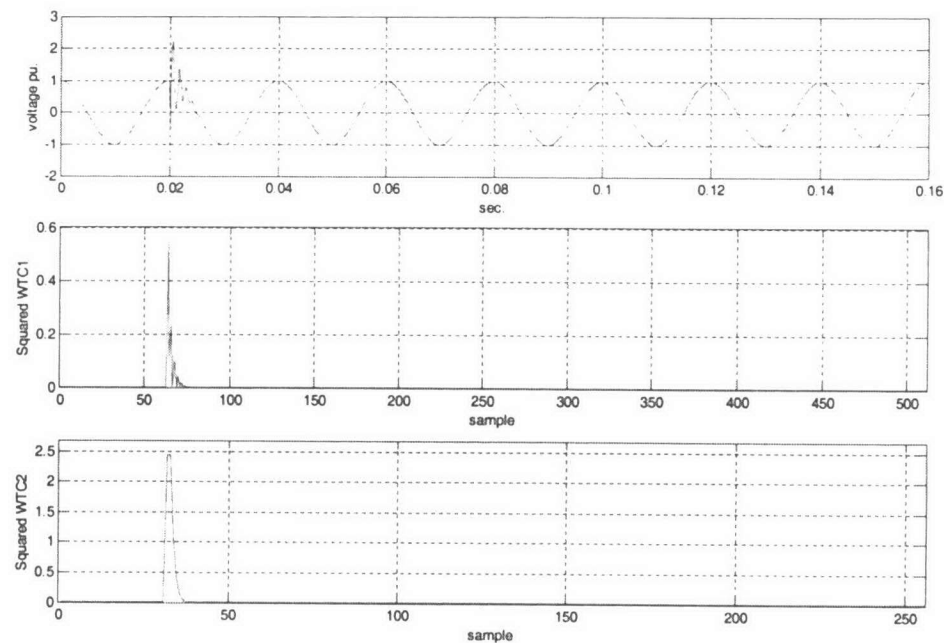


รูปที่ ๔.๓ การตรวจสอบคุณลักษณะกับกรณีการสับสวิตช์แบบต่างๆ

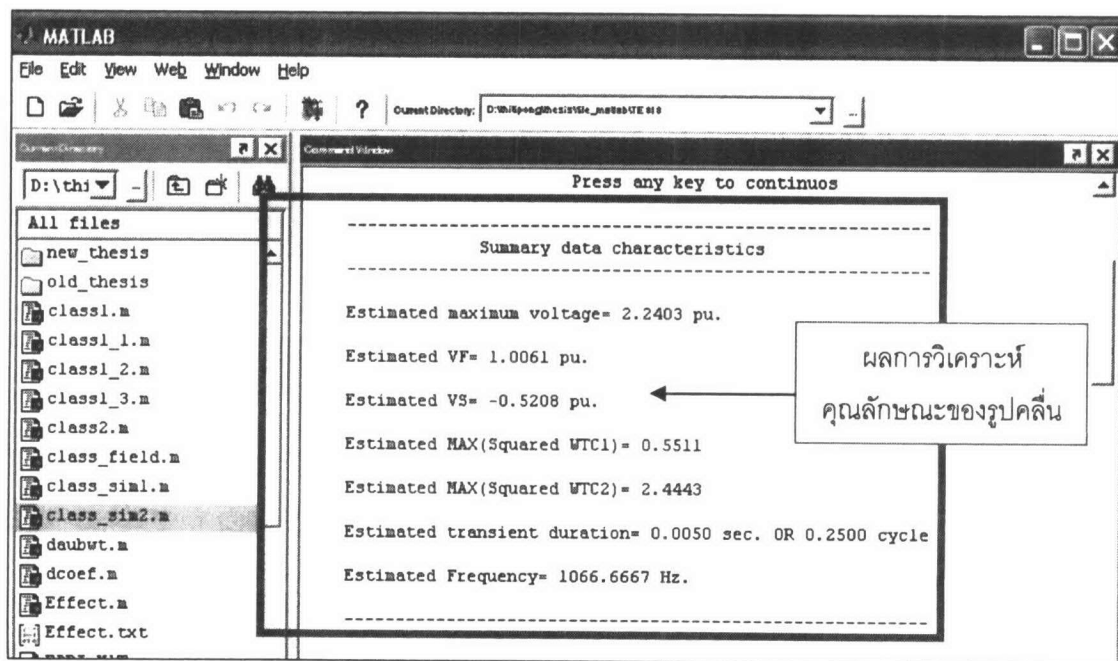


รูปที่ ๔.๔ การสรุปผลการสัมภาษณ์รูปแบบการสับสวิตช์ตัวเก็บประจุกรณียืนยันผลสรุปแน่นอน

จากตัวอย่างนี้ได้แสดงการสัมภาษณ์รูปแบบการสับสวิตช์ตัวเก็บประจุกำลังจำลอง ซึ่งเป็นกรณีที่สามารถหาผลสรุปการสัมภาษณ์ได้ และในตัวอย่างถัดไปจะแสดงการสัมภาษณ์รูปแบบการสับสวิตช์ตัวเก็บประจุกำลังจำลองที่ใช้การประมาณผลสรุป

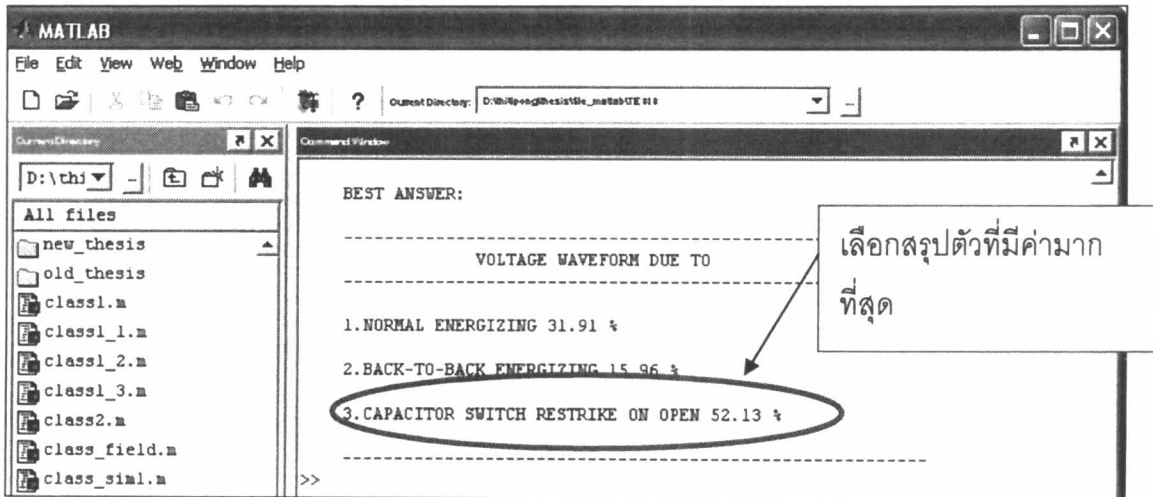


รูปที่ ๔.๕ รูปคลื่นจำลองกรณี Capacitor Switch Restrike On Open

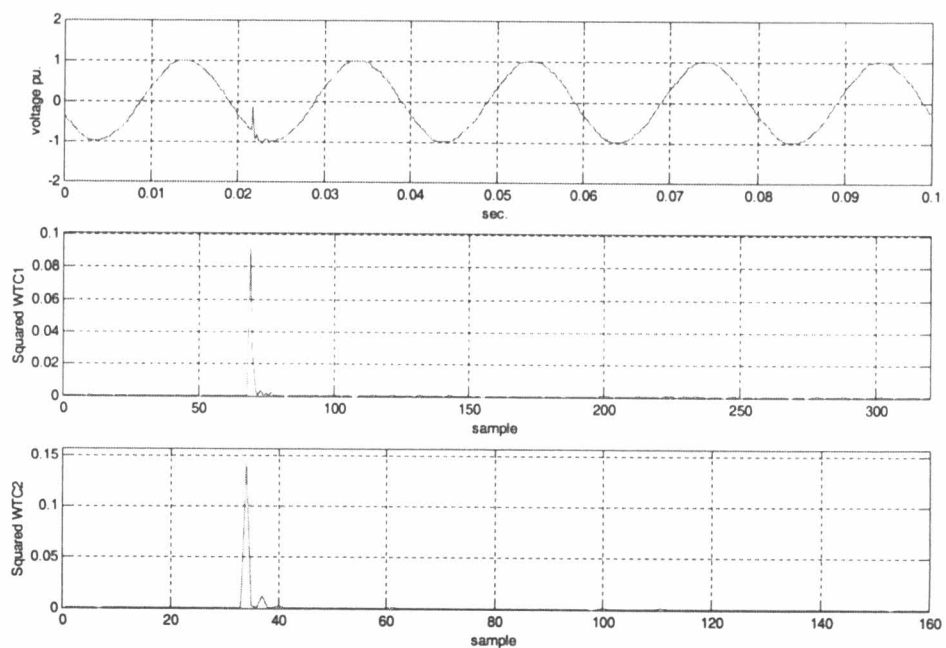


รูปที่ ๔.๖ การรายงานผลการวิเคราะห์คุณลักษณะของรูปคลื่น

การรายงานผลการสัมภาษณ์รูปแบบการสับสวิตช์

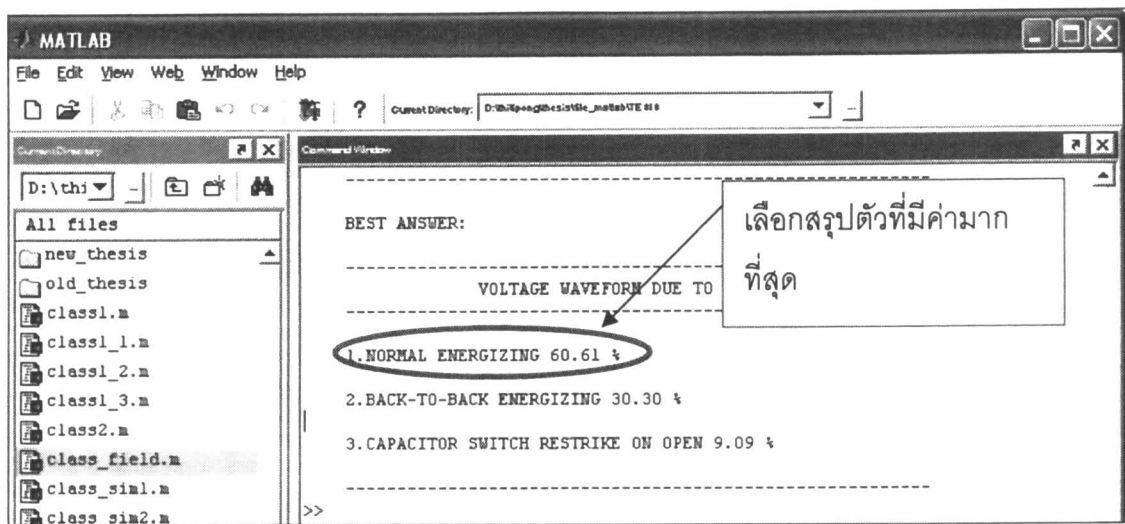


รูปที่ ง.7 ผลการสัมภาษณ์รูปแบบการสับสวิตช์ตัวเก็บประจุกรณีใช้การประมาณในการตัดสินใจตัวอย่างต่อไปจะแสดงวิธีการสัมภาษณ์รูปแบบการสับสวิตช์ตัวเก็บประจุกับผลการทดลองจริง



รูปที่ ง.8 รูปคลื่นจริงจากการทดลองกรณี Normal energizing

ได้ผลการวิเคราะห์ดังแสดงในรูปที่ ง.9



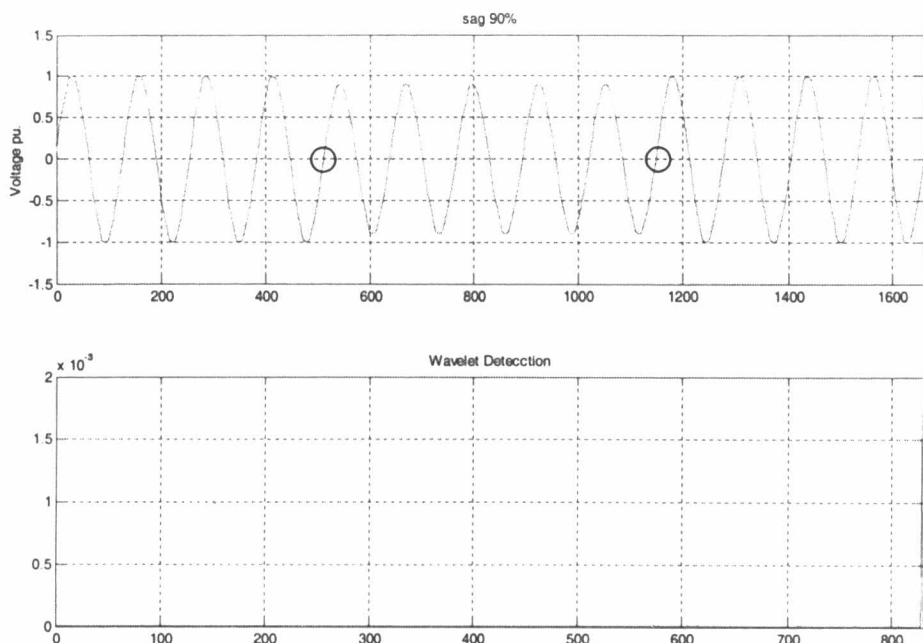
รูปที่ ๔.๙ ผลการสัมนันซ์ฐานรูปแบบการสับสิบ伏ต์ด้วยเก็บประจุกำลังจากการทดลองจริง

ภาคผนวก จ

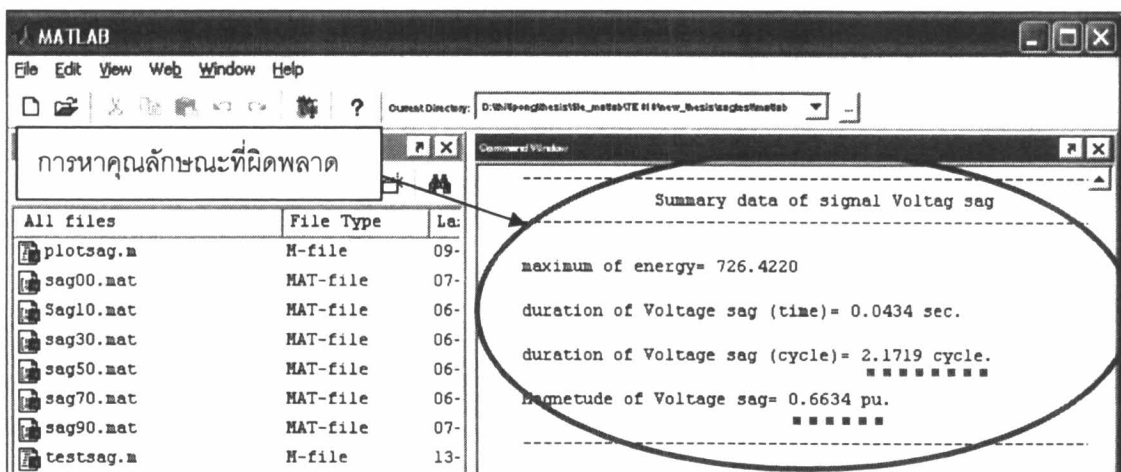
ตัวอย่างการหาคุณลักษณะของแรงดันตกชั่วขณะ

ตัวอย่างการหาคุณลักษณะของแรงดันตกชั่วขณะ

ตัวอย่างการหาคุณลักษณะของแรงดันตกชั่วขณะที่ผิดพลาด

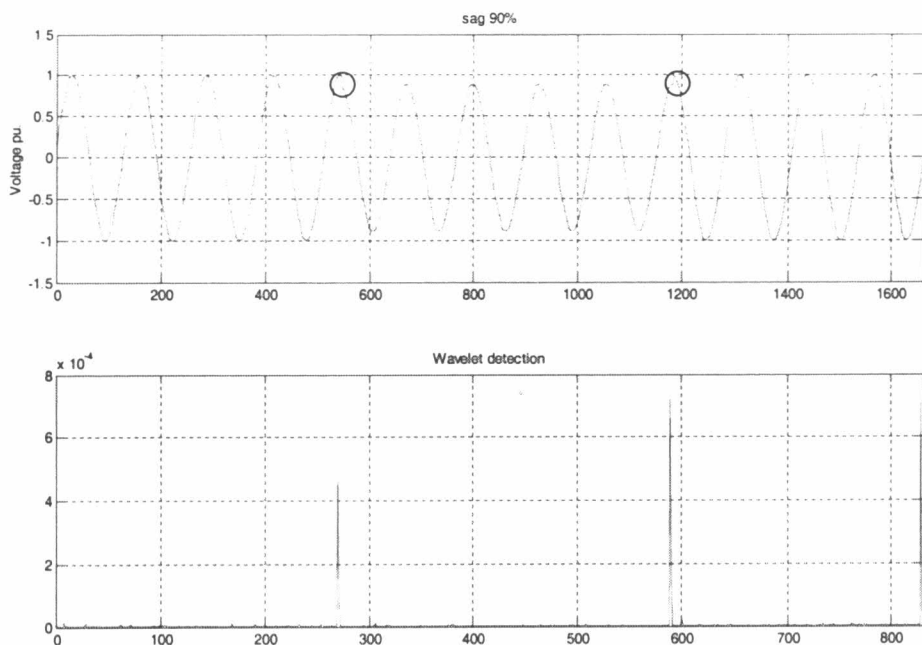


รูปที่ จ.1 การหาช่วงเวลาที่เกิดแรงดันตกที่ผิดพลาดโดยแสดงที่ขนาด 90 % 5 cycle 0 องศา จะทำให้ผลการหาขนาดผิดพลาดด้วยดังรูปที่ จ.2

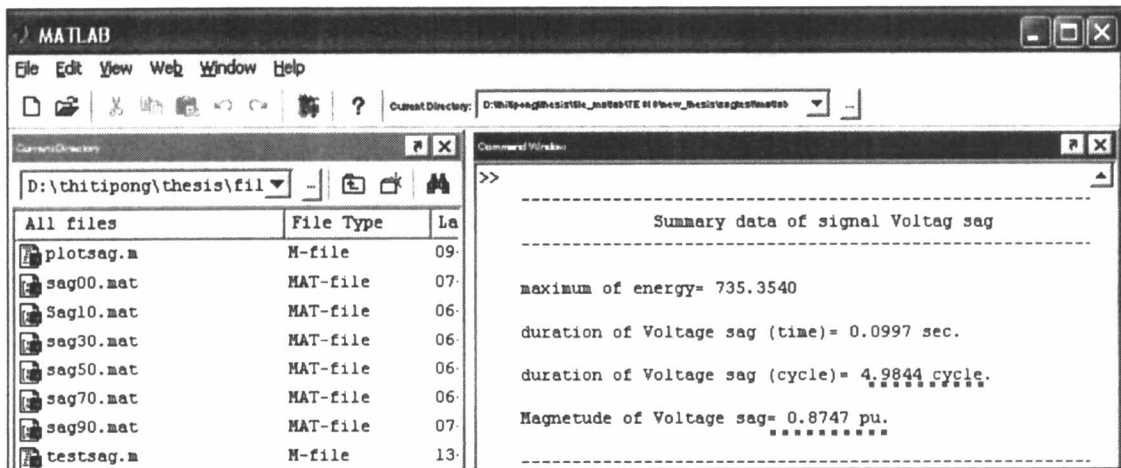


รูปที่ จ.2 แสดงการหาคุณลักษณะของแรงดันตกชั่วขณะผิดพลาด

ตัวอย่างการหาคุณลักษณะของแรงดันตกชั่วขณะที่ไม่ผิดพลาด



รูปที่ จ.3 การหาช่วงเวลาที่เกิดแรงดันตกที่ไม่ผิดพลาดโดยแสดงที่ขึ้นada 90 % 5 cycle 90 องศา และผลการหาขนาดของแรงดันตกชั่วขณะ

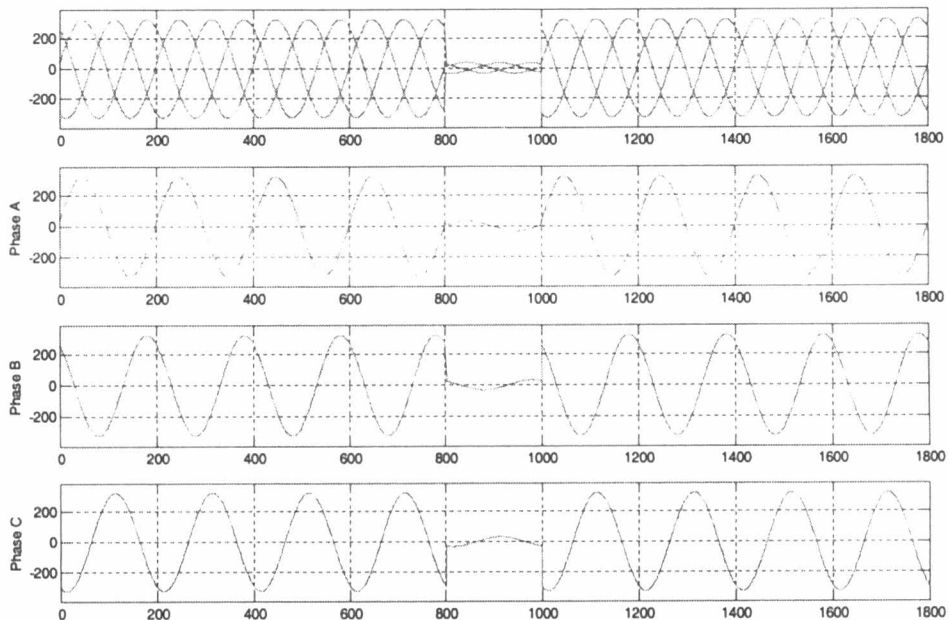


รูปที่ จ.4 แสดงการหาคุณลักษณะของแรงดันตกชั่วขณะที่ไม่ผิดพลาด

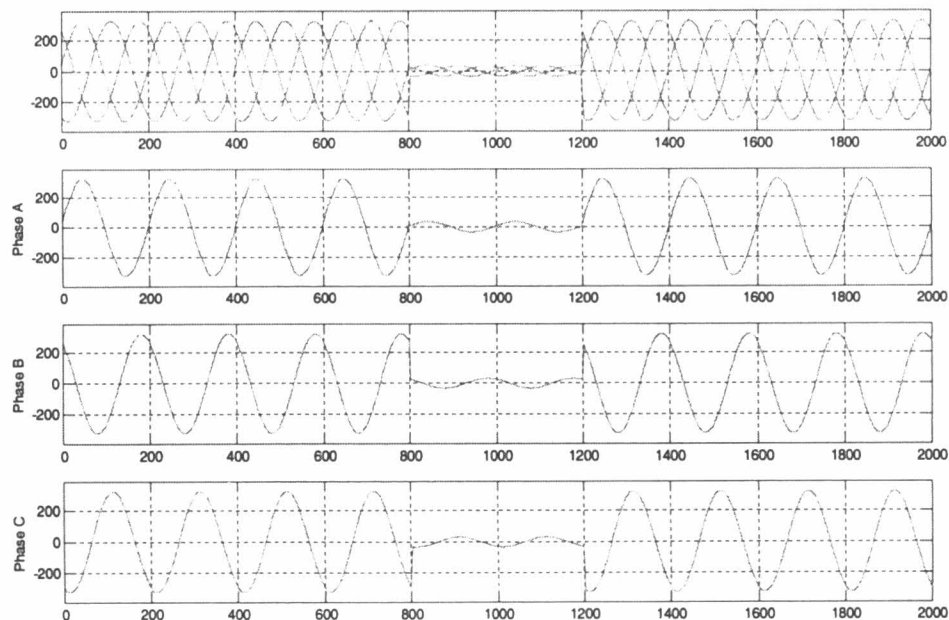
ภาคผนวก ฉ

รูปคลื่นแรงดันตกชั่วขณะ 3 เฟสที่มุบบนคลื่นไฟส์ A เป็น 0 องศา

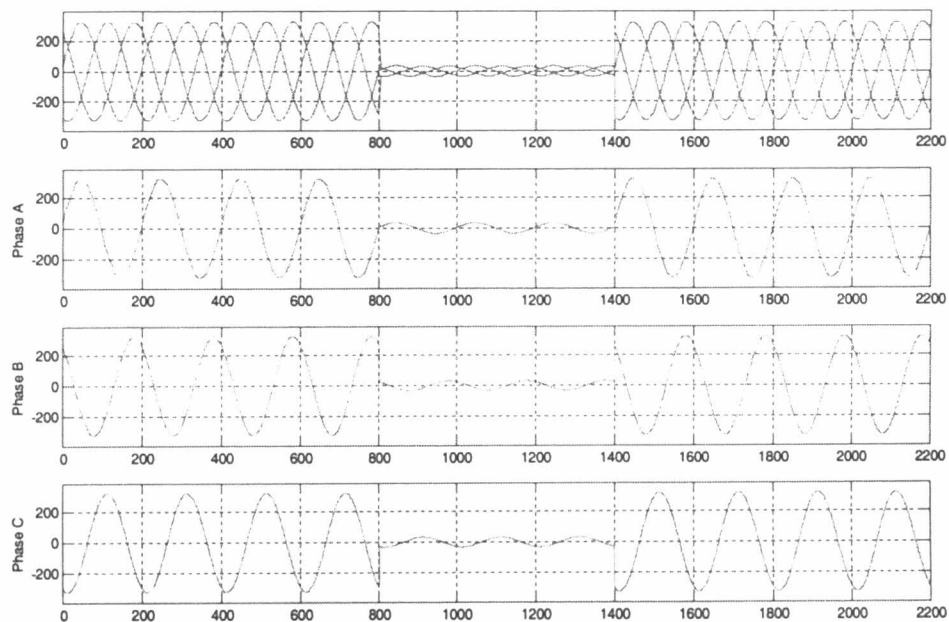
ที่ขนาดแรงดันตกเหลือ 10% ของแรงดันปกติ



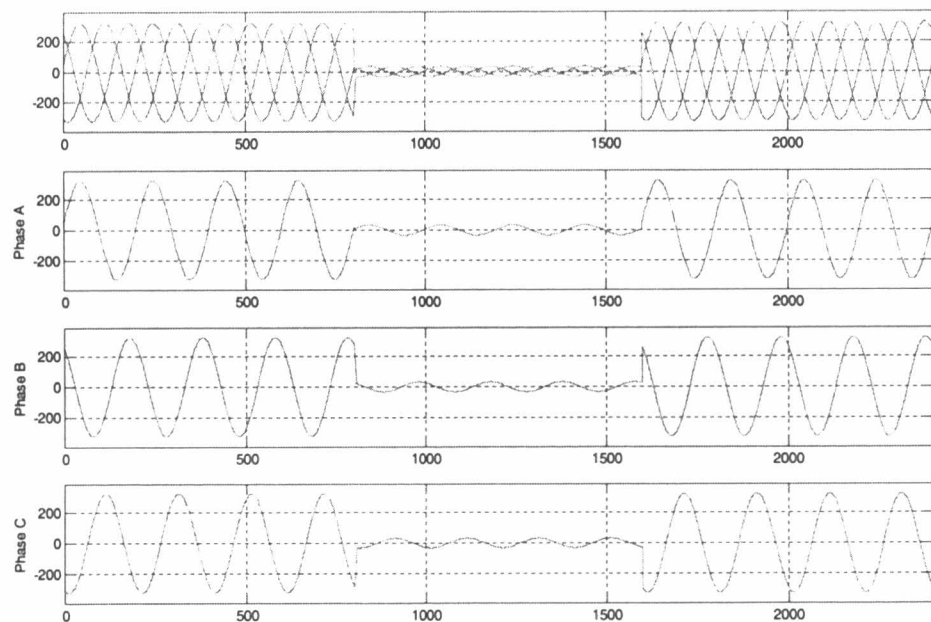
รูปที่ ฉ. 1 ระยะเวลาเกิด 1 ไซเคิล



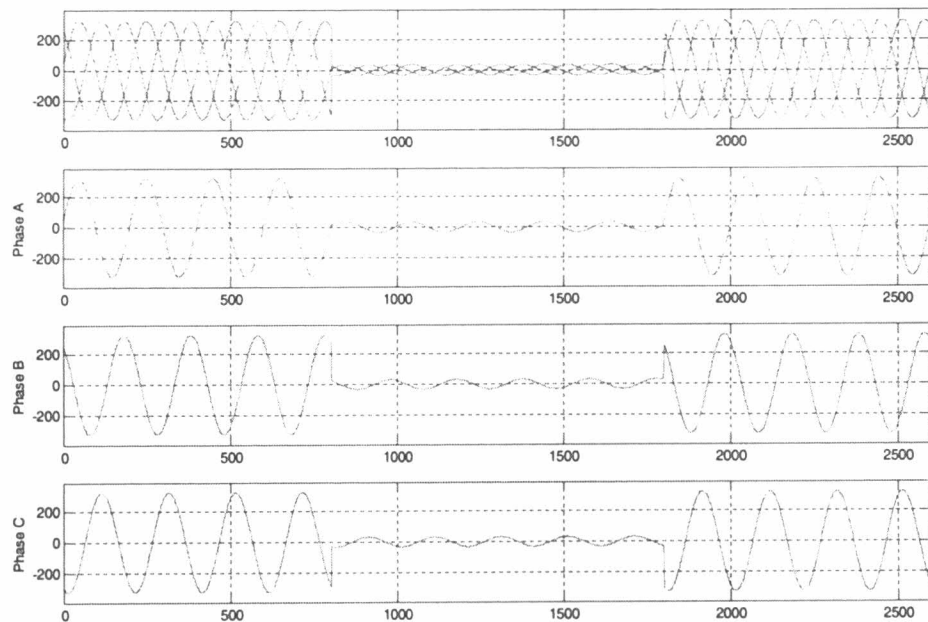
รูปที่ ฉ. 2 ระยะเวลาเกิด 2 ไซเคิล



รูปที่ ฉ. 3 ระยะเวลาเกิด 3 ไฟเคิด

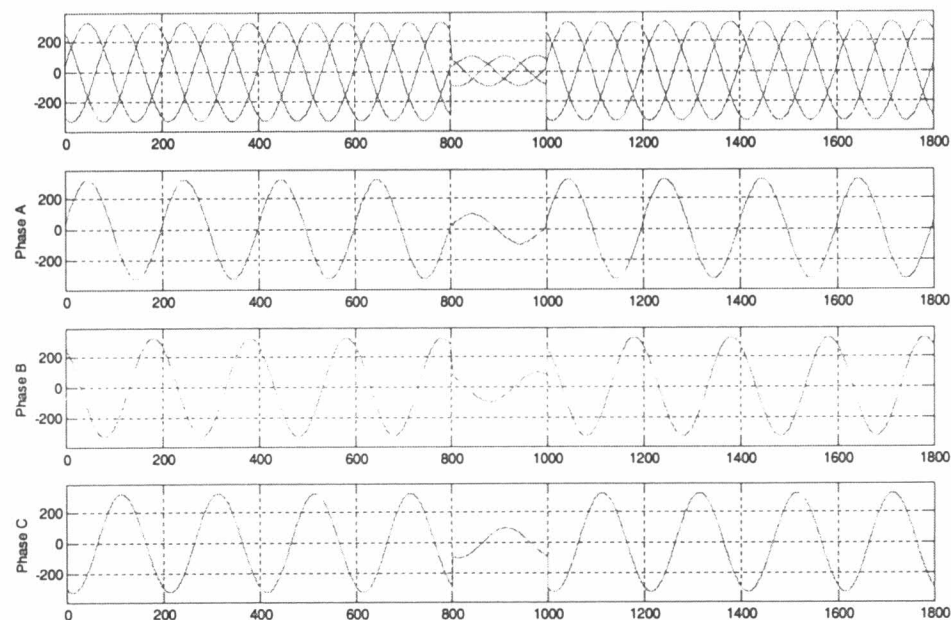


รูปที่ ฉ. 4 ระยะเวลาเกิด 4 ไฟเคิด

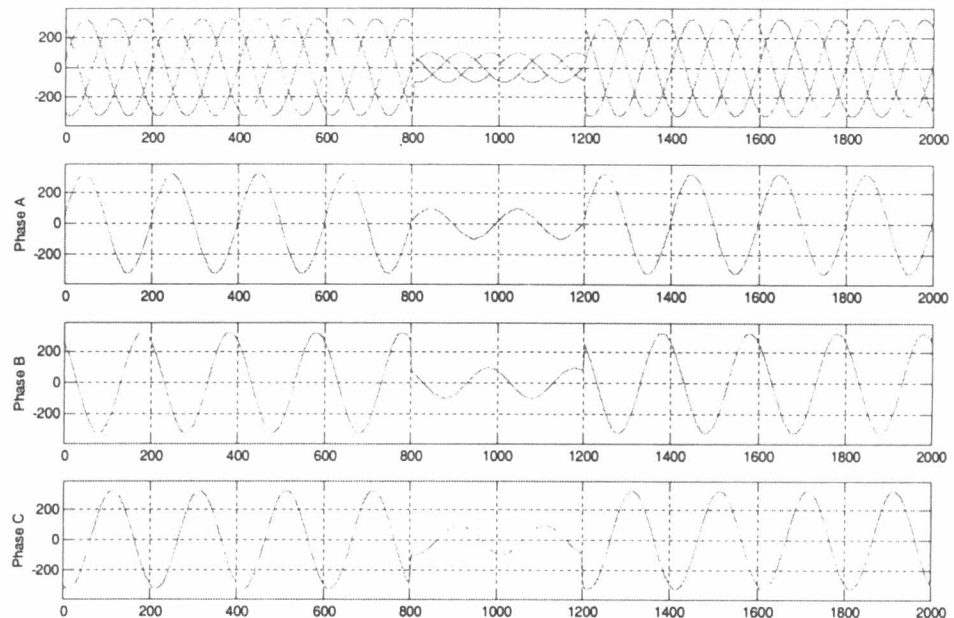


รูปที่ ฉ. 5 ระยะเวลาเกิด 5 ไซเคิล

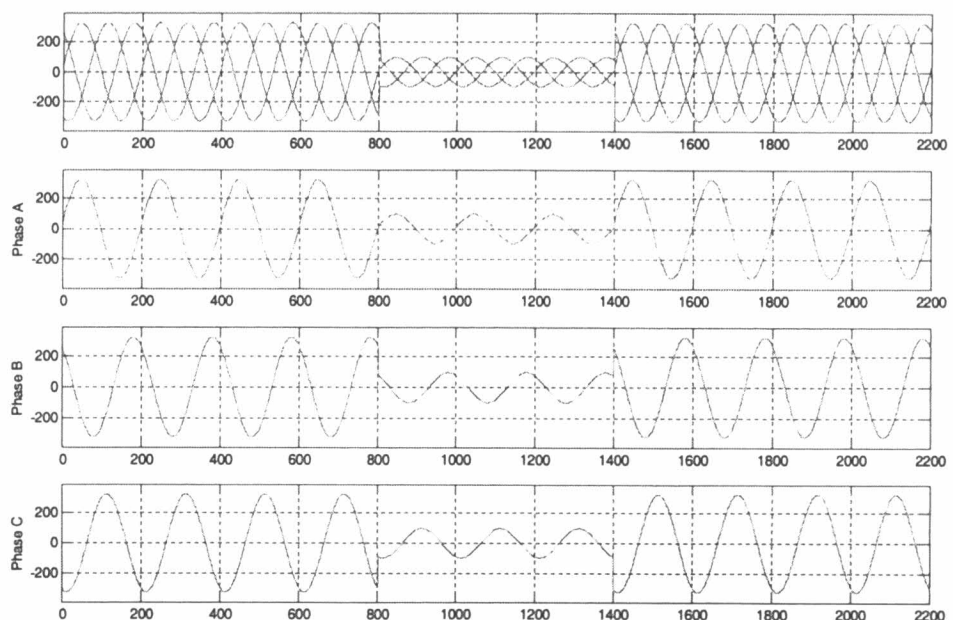
ท่านาดแรงดันตกเหลือ 30% ของแรงดันปกติ



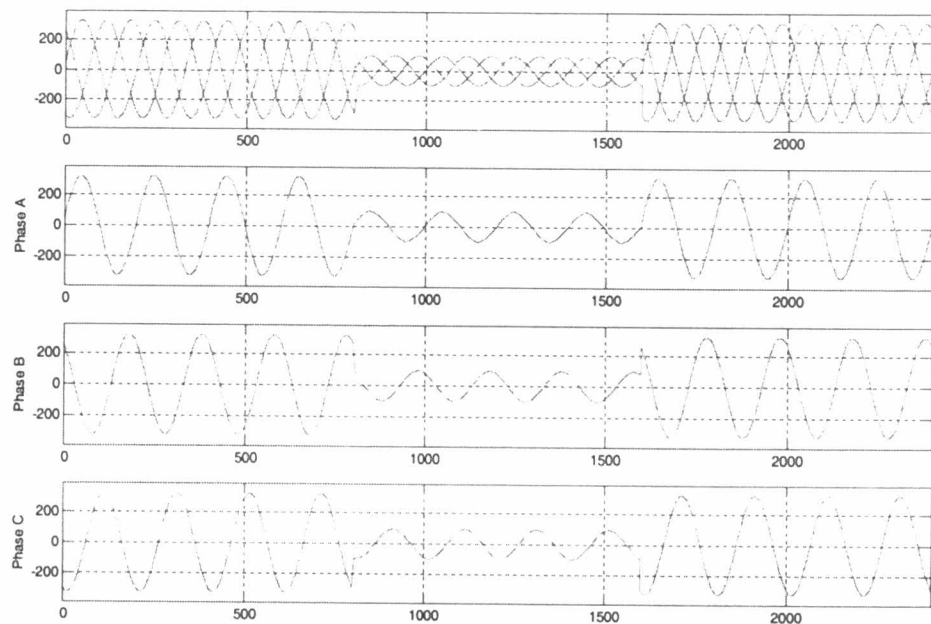
รูปที่ ฉ. 6 ระยะเวลาเกิด 1 ไซเคิล



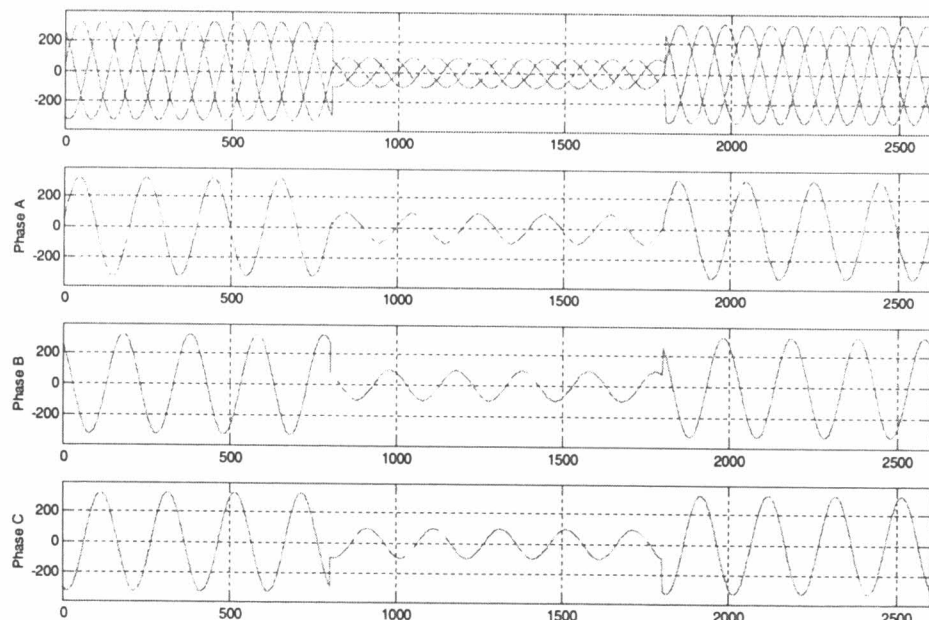
รูปที่ ฉ. 7 ระยะเวลาเกิด 2 ไซเคิล



รูปที่ ฉ. 8 ระยะเวลาเกิด 3 ไซเคิล

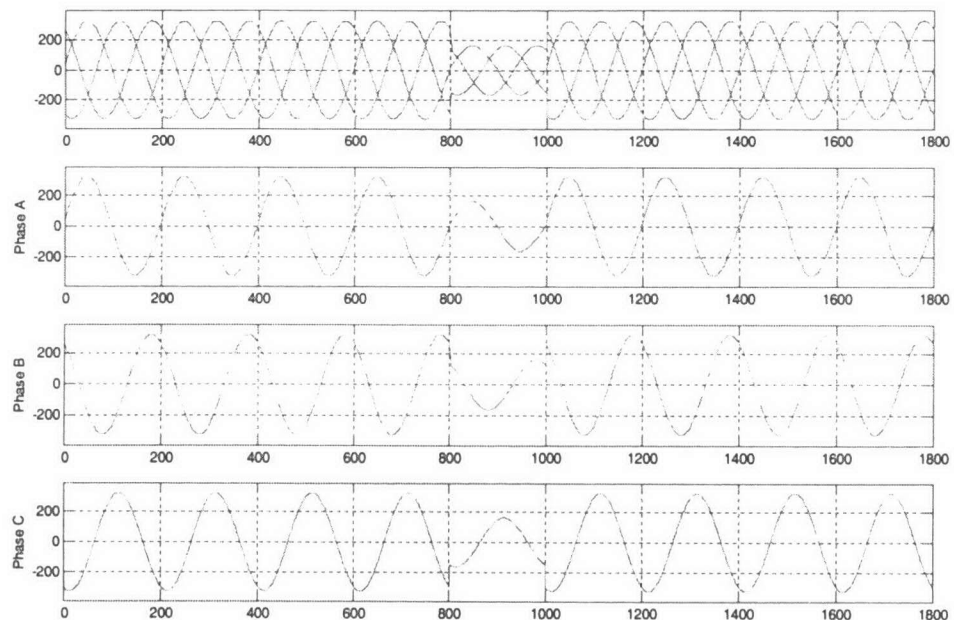


รูปที่ ฉ. 9 ระยะเวลาเกิด 4 ไซเคิล

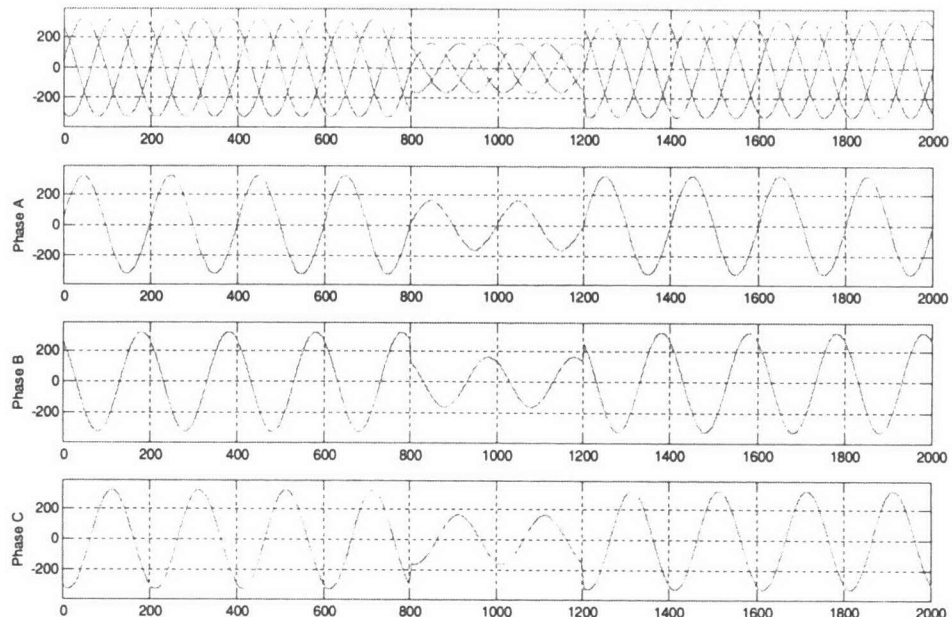


รูปที่ ฉ. 10 ระยะเวลาเกิด 5 ไซเคิล

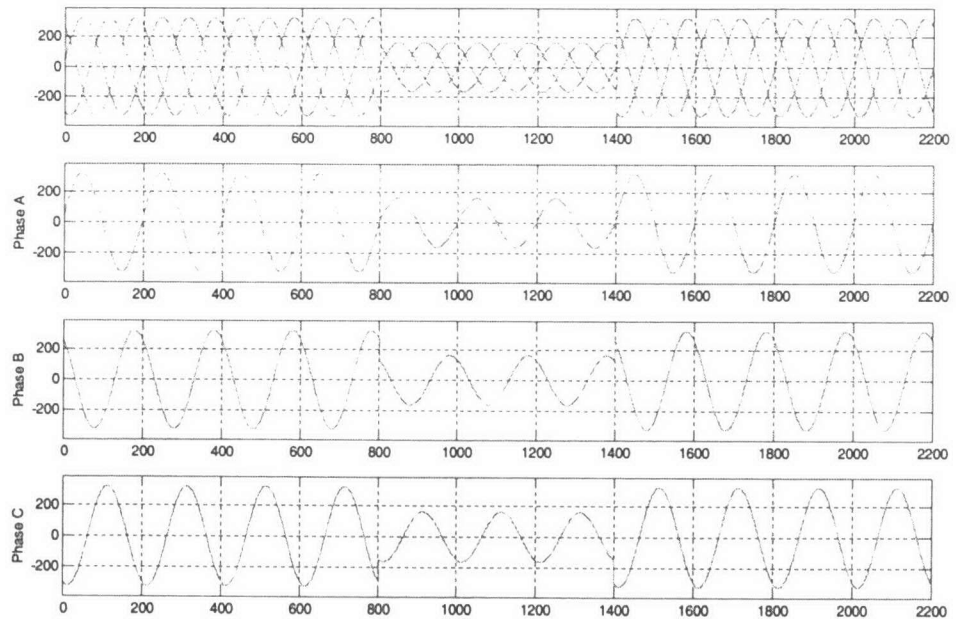
ทั้งขนาดแรงดันตกเหลือ 50% ของแรงดันปกติ



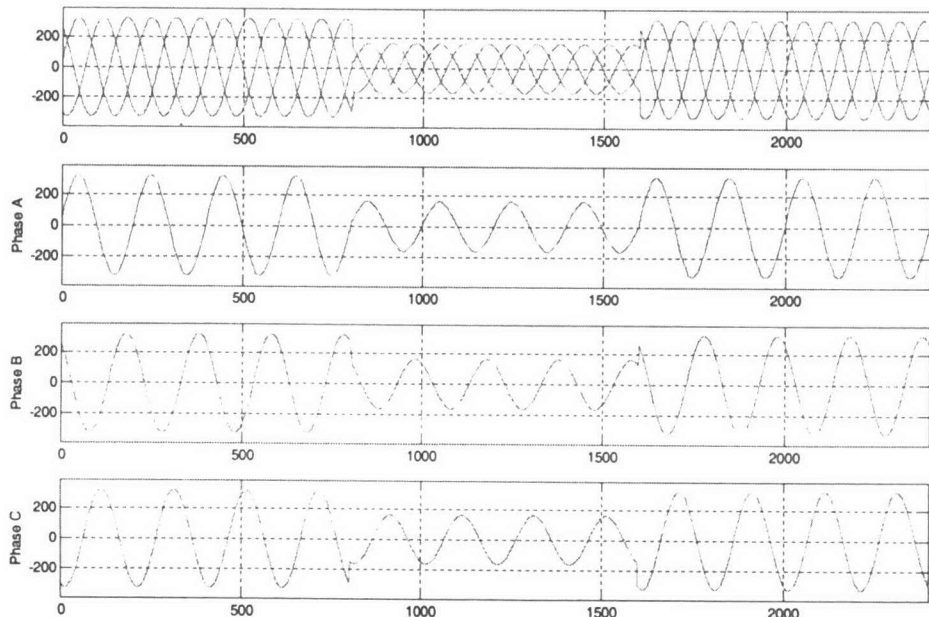
รูปที่ ฉ. 11 ระยะเวลาเกิด 1 ไซเคิล



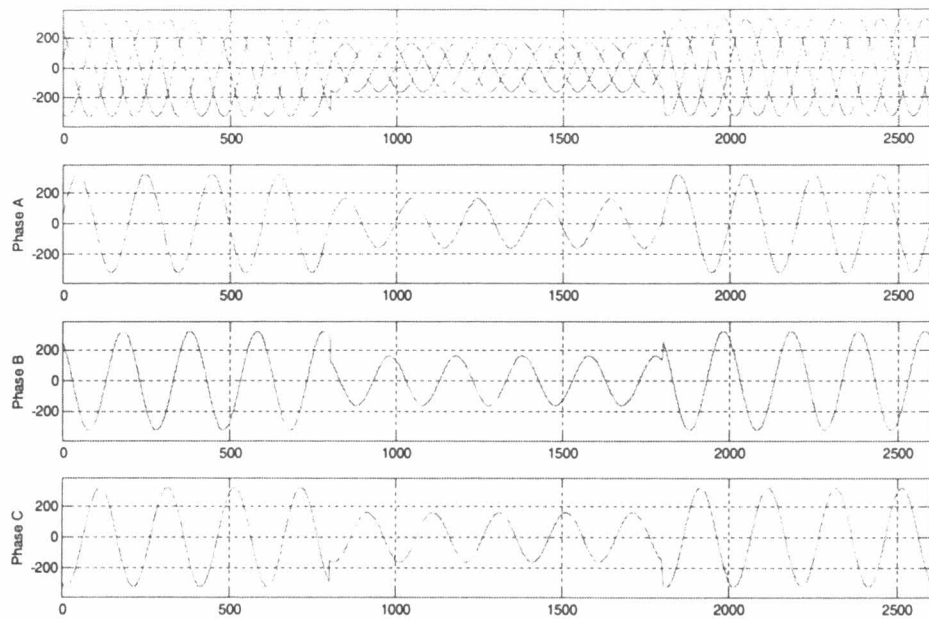
รูปที่ ฉ. 12 ระยะเวลาเกิด 2 ไซเคิล



รูปที่ ฉ. 13 ระยะเวลาเกิด 3 ไซเคิล

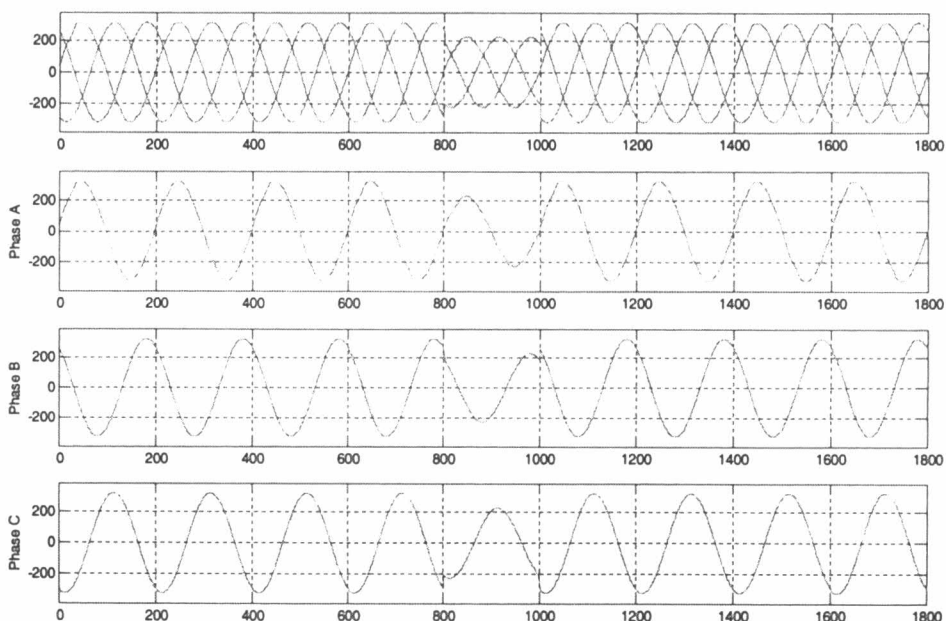


รูปที่ ฉ. 14 ระยะเวลาเกิด 4 ไซเคิล

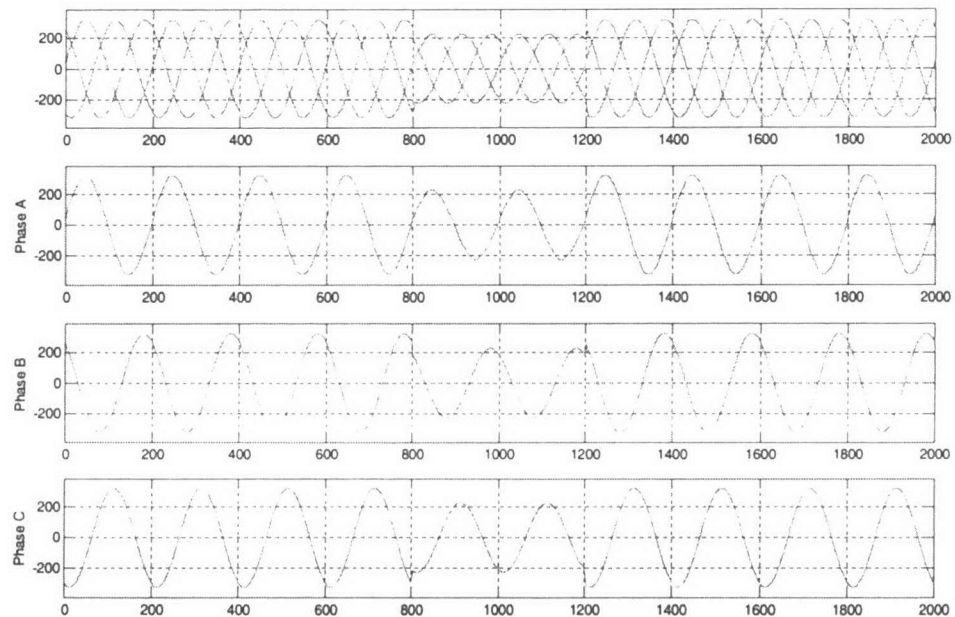


รูปที่ ฉ. 15 ระยะเวลาเกิด 5 ไซเคิล

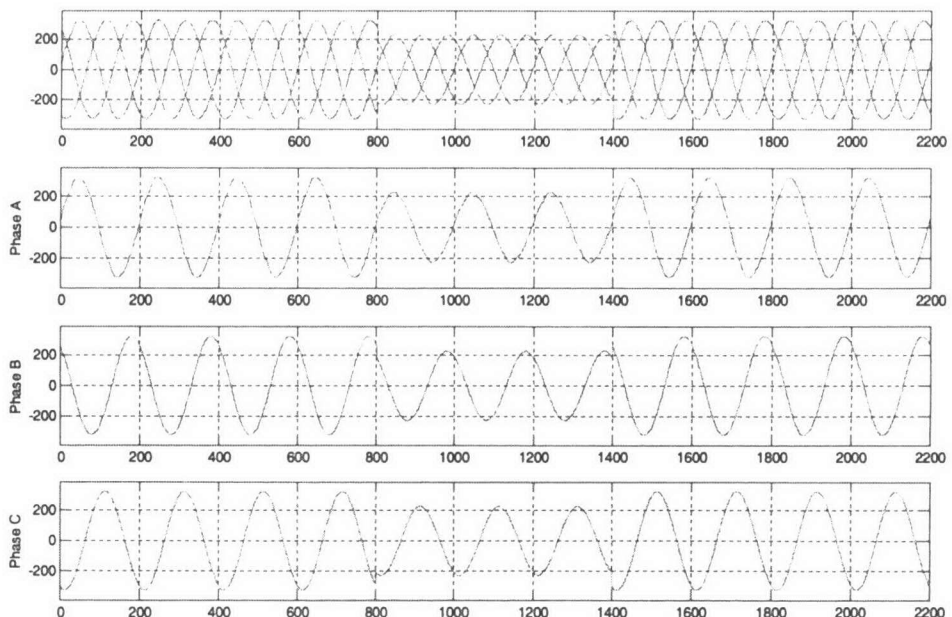
ที่ขนาดแรงดันตกเหลือ 70% ของแรงดันปกติ



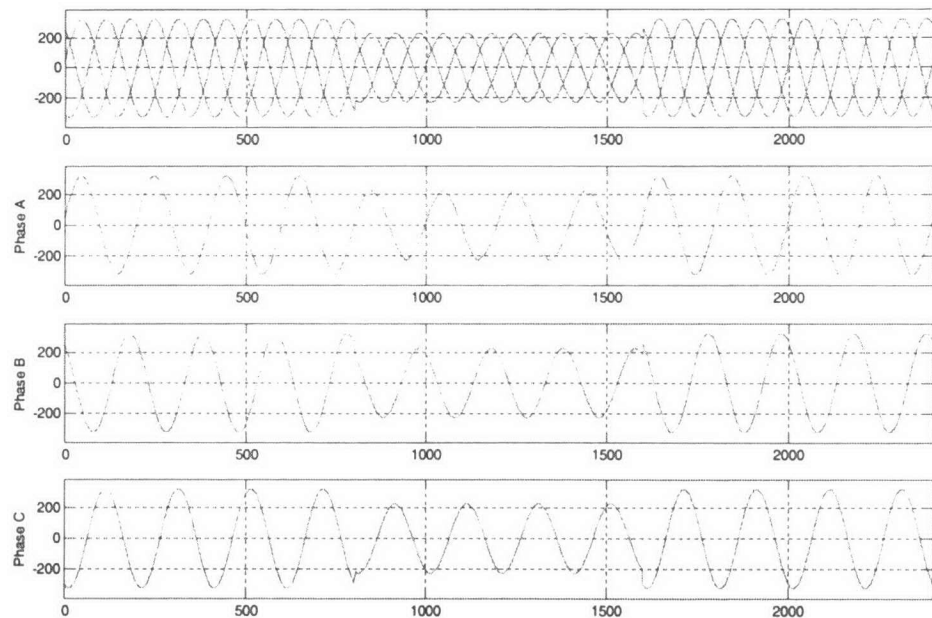
รูปที่ ฉ. 16 ระยะเวลาเกิด 1 ไซเคิล



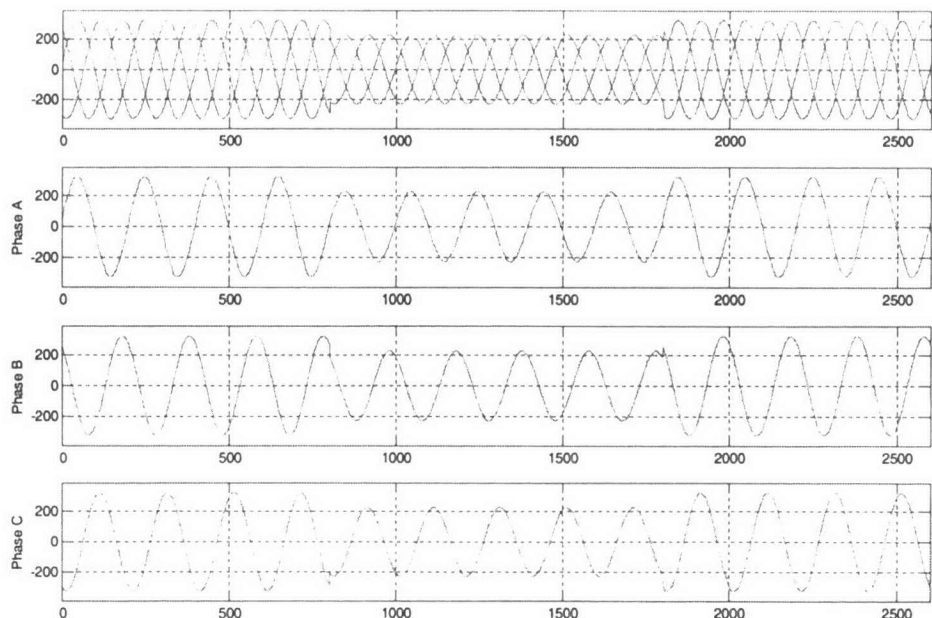
รูปที่ ฉ. 17 ระยะเวลาเกิด 2 ไซเคิล



รูปที่ ฉ. 18 ระยะเวลาเกิด 3 ไซเคิล

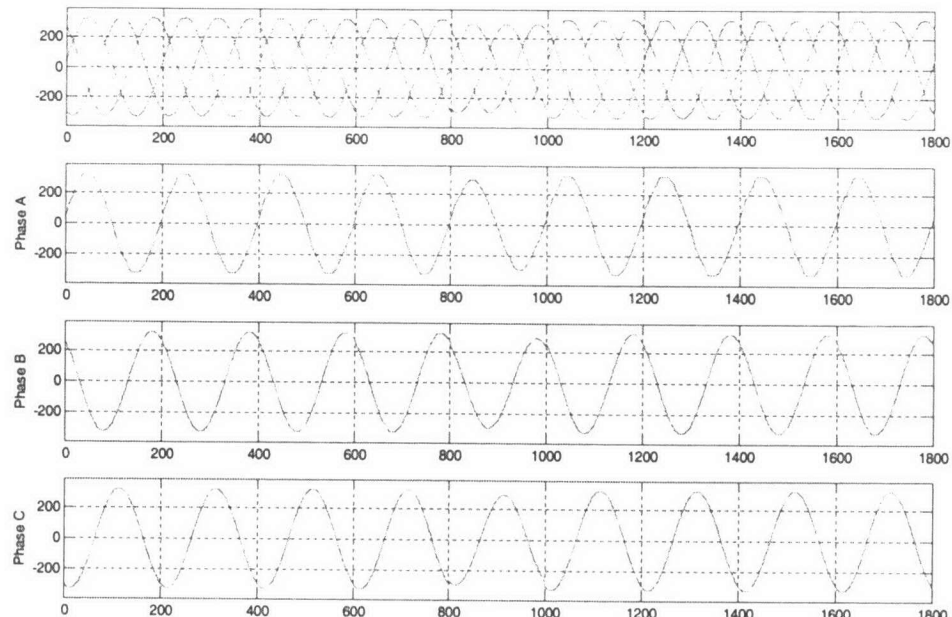


รูปที่ ฉ. 19 ระยะเวลาเกิด 4 ไซเคิล

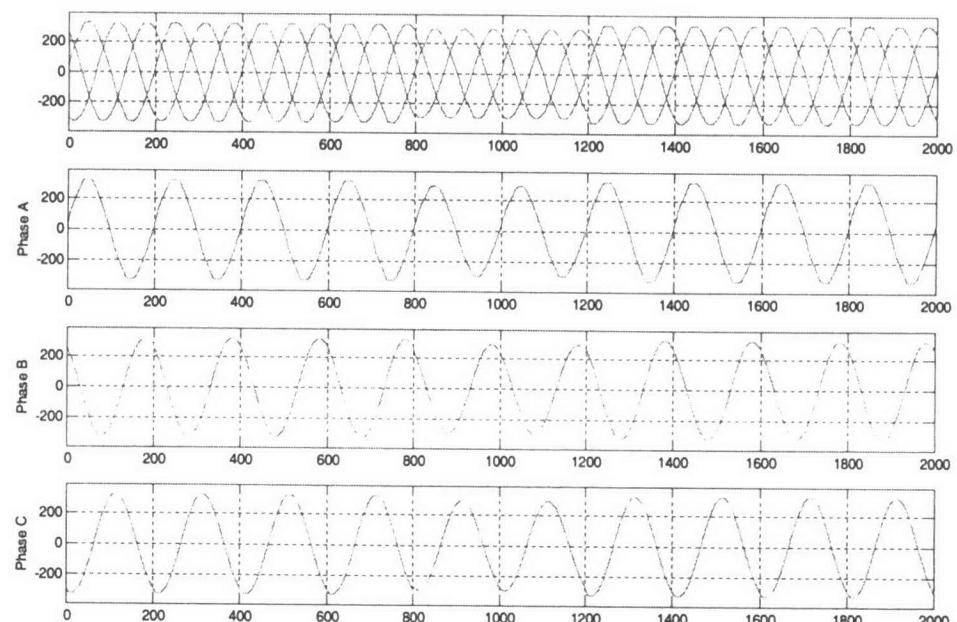


รูปที่ ฉ. 20 ระยะเวลาเกิด 5 ไซเคิล

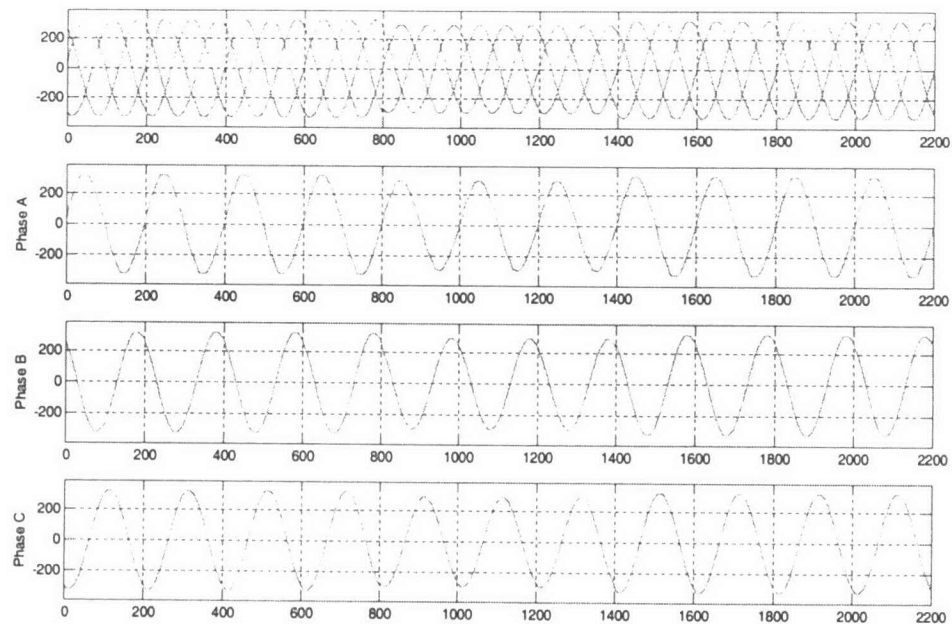
ทุกนาดเรงดันตกเหลือ 90% ของเรงดันปกติ



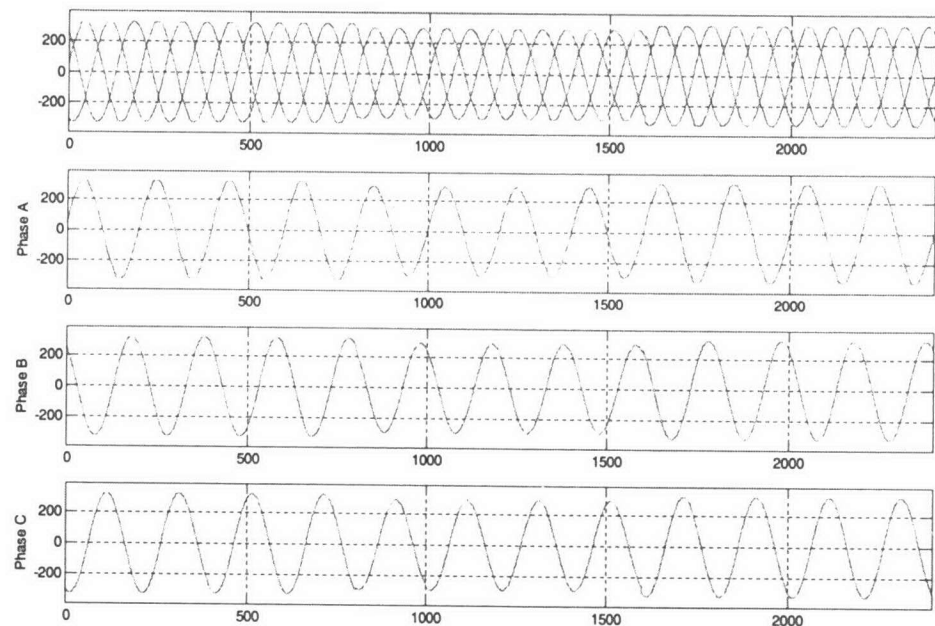
รูปที่ ฉ. 21 ระยะเวลาเกิด 1 ไซเคิล



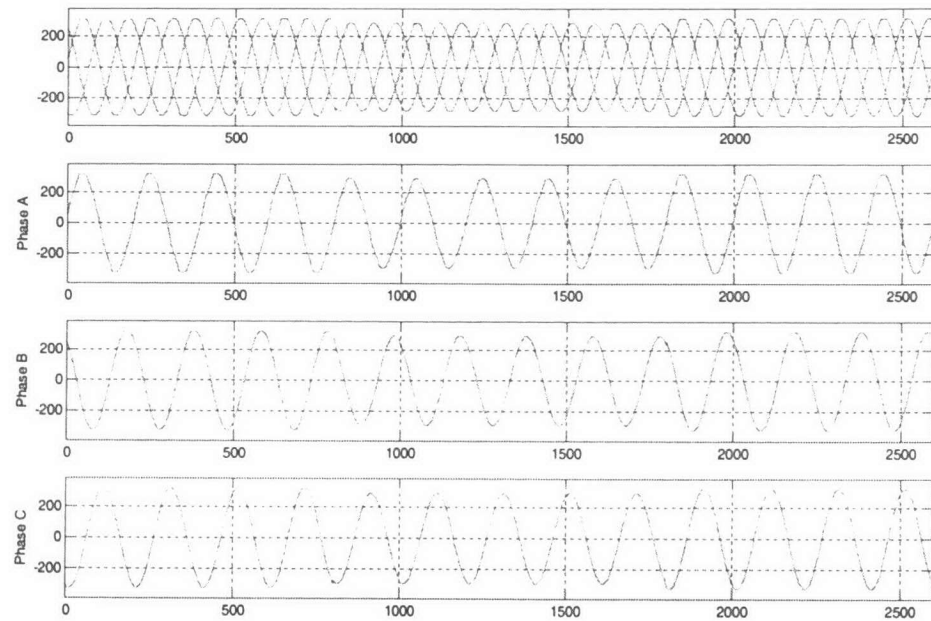
รูปที่ ฉ. 22 ระยะเวลาเกิด 2 ไซเคิล



รูปที่ ฉ. 23 ระยะเวลาเกิด 3 ไซเคิล



รูปที่ ฉ. 24 ระยะเวลาเกิด 4 ไซเคิล



รูปที่ ฉ. 25 ระยะเวลาเกิด 5 ไซเคิล

หมายเหตุ รูปคลื่นในรูปที่ ฉ. 1 – ฉ. 25 แกนนอนจะแสดงเป็นจุดตัวอย่างสุ่ม (sample point)

ประวัติผู้เขียนวิทยานิพนธ์

นาย สุทธิพงษ์ อินทรสินธุ์ เกิดเมื่อวันที่ 7 ตุลาคม พ.ศ. 2520 ที่กรุงเทพมหานคร สำเร็จการศึกษาปริญญาวิศวกรรมศาสตรบัณฑิต (เกียรตินิยมอันดับสอง) สาขาวิศวกรรมไฟฟ้า จาก มหาวิทยาลัยเทคโนโลยีพระจอมเกล้าธนบุรี เมื่อปี 2544 และเข้าศึกษาระดับปริญญาโทที่ คณะวิศวกรรมศาสตร์ จุฬาลงกรณ์มหาวิทยาลัย สาขา วิศวกรรมไฟฟ้ากำลังในปีเดียวกัน ปัจจุบัน ทำงานที่ กองวิจัยและพัฒนา ฝ่ายวางแผนและพัฒนาระบบไฟฟ้า การไฟฟ้านครหลวง ในตำแหน่ง วิศวกรไฟฟาระดับ 4